



ΕΘΝΙΚΟ ΜΕΤΣΟΒΙΟ ΠΟΛΥΤΕΧΝΕΙΟ
ΣΧΟΛΗ ΗΛΕΚΤΡΟΛΟΓΩΝ ΜΗΧΑΝΙΚΩΝ ΚΑΙ ΜΗΧΑΝΙΚΩΝ ΥΠΟΛΟΓΙΣΤΩΝ
ΤΟΜΕΑΣ ΠΛΗΡΟΦΟΤΙΚΗΣ ΚΑΙ ΥΠΟΛΟΓΙΣΤΩΝ

Σύστημα Παρακολούθησης και Ελέγχου Υποσταθμού Με Χρήση Δικτύου LoRaWAN

ΔΙΠΛΩΜΑΤΙΚΗ ΕΡΓΑΣΙΑ

του

ΑΡΑΠΗ Σ. ΘΕΟΔΩΡΟΥ

Επιβλέπων: Παναγιώτης Τσανάκας
Καθηγητής Ε.Μ.Π.

Συνεπιβλέπων: Άρης Ευάγγελος Δημέας
Καθηγητής Ε.Μ.Π.

Αθήνα, Ιούνιος 2025



ΕΘΝΙΚΟ ΜΕΤΣΟΒΙΟ ΠΟΛΥΤΕΧΝΕΙΟ
ΣΧΟΛΗ ΗΛΕΚΤΡΟΛΟΓΩΝ ΜΗΧΑΝΙΚΩΝ ΚΑΙ ΜΗΧΑΝΙΚΩΝ ΥΠΟΛΟΓΙΣΤΩΝ
ΤΟΜΕΑΣ ΠΛΗΡΟΦΟΤΙΚΗΣ ΚΑΙ ΥΠΟΛΟΓΙΣΤΩΝ

Σύστημα Παρακολούθησης και Ελέγχου Υποσταθμού Με Χρήση Δικτύου LoRaWAN

ΔΙΠΛΩΜΑΤΙΚΗ ΕΡΓΑΣΙΑ

του

ΑΡΑΠΗ Σ. ΘΕΟΔΩΡΟΥ

Επιβλέπων: Παναγιώτης Τσανάκας
Καθηγητής Ε.Μ.Π.

Συνεπιβλέπων: Άρης Ευάγγελος Δημέας
Καθηγητής Ε.Μ.Π.

Εγκρίθηκε από την τριμελή εξεταστική επιτροπή την 22α Ιουνίου 2025.

(Υπογραφή)

(Υπογραφή)

(Υπογραφή)

.....
Παναγιώτης Τσανάκας
Καθηγητής Ε.Μ.Π.

.....
Γρηγόρης Καραγιώργος
Επίκουρος Καθηγητής

.....
Γεώργιος Γεωργίου
Επιστ. Συνεργάτης

Αθήνα, Ιούνιος 2025



ΕΘΝΙΚΟ ΜΕΤΣΟΒΙΟ ΠΟΛΥΤΕΧΝΕΙΟ
ΣΧΟΛΗ ΗΛΕΚΤΡΟΛΟΓΩΝ ΜΗΧΑΝΙΚΩΝ ΚΑΙ ΜΗΧΑΝΙΚΩΝ ΥΠΟΛΟΓΙΣΤΩΝ
ΤΟΜΕΑΣ ΠΛΗΡΟΦΟΤΙΚΗΣ ΚΑΙ ΥΠΟΛΟΓΙΣΤΩΝ

Copyright © - All rights reserved. Με την επιφύλαξη παντός δικαιώματος.
Θεόδωρος Αράπης, 2025.

Απαγορεύεται η αντιγραφή, αποθήκευση και διανομή της παρούσας εργασίας, εξ ολοκλήρου ή τμήματος αυτής, για εμπορικό σκοπό. Επιτρέπεται η ανατύπωση, αποθήκευση και διανομή για σκοπό μη κερδοσκοπικό, εκπαιδευτικής ή ερευνητικής φύσης, υπό την προϋπόθεση να αναφέρεται η πηγή προέλευσης και να διατηρείται το παρόν μήνυμα.

Το περιεχόμενο αυτής της εργασίας δεν απηχεί απαραίτητα τις απόψεις του Τμήματος, του Επιβλέποντα, ή της επιτροπής που την ενέκρινε.

ΔΗΛΩΣΗ ΜΗ ΛΟΓΟΚΛΟΠΗΣ ΚΑΙ ΑΝΑΛΗΨΗΣ ΠΡΟΣΩΠΙΚΗΣ ΕΥΘΥΝΗΣ

Με πλήρη επίγνωση των συνεπειών του νόμου περί πνευματικών δικαιωμάτων, δηλώνω ενυπογράφως ότι είμαι αποκλειστικός συγγραφέας της παρούσας Πτυχιακής Εργασίας, για την ολοκλήρωση της οποίας κάθε βοήθεια είναι πλήρως αναγνωρισμένη και αναφέρεται λεπτομερώς στην εργασία αυτή. Έχω αναφέρει πλήρως και με σαφείς αναφορές, όλες τις πηγές χρήσης δεδομένων, απόψεων, θέσεων και προτάσεων, ιδεών και λεκτικών αναφορών, είτε κατά κυριολεξία είτε βάσει επιστημονικής παράφρασης. Αναλαμβάνω την προσωπική και ατομική ευθύνη ότι σε περίπτωση αποτυχίας στην υλοποίηση των ανωτέρω δηλωθέντων στοιχείων, είμαι υπόλογος έναντι λογοκλοπής, γεγονός που σημαίνει αποτυχία στην Πτυχιακή μου Εργασία και κατά συνέπεια αποτυχία απόκτησης του Τίτλου Σπουδών, πέραν των λοιπών συνεπειών του νόμου περί πνευματικών δικαιωμάτων. Δηλώνω, συνεπώς, ότι αυτή η Πτυχιακή Εργασία προετοιμάστηκε και ολοκληρώθηκε από εμένα προσωπικά και αποκλειστικά και ότι, αναλαμβάνω πλήρως όλες τις συνέπειες του νόμου στην περίπτωση κατά την οποία αποδειχθεί, διαχρονικά, ότι η εργασία αυτή ή τμήμα της δεν μου ανήκει διότι είναι προϊόν λογοκλοπής άλλης πνευματικής ιδιοκτησίας.

(Υπογραφή)

.....
Θεόδωρος Αράπης

22 Ιουνίου 2025

Περίληψη

Η ανάγκη για αποδοτική παρακολούθηση και διαχείριση των ενεργειακών εγκαταστάσεων καθιστά επιτακτική την ανάπτυξη έξυπνων και αυτόνομων συστημάτων παρακολούθησης υποσταθμών. Στην παρούσα διπλωματική εργασία σχεδιάστηκε και υλοποιήθηκε ένα ολοκληρωμένο σύστημα απομακρυσμένης παρακολούθησης και ελέγχου ενός ηλεκτρικού υποσταθμού, βασισμένο στην τεχνολογία LoRaWAN.

Το σύστημα περιλαμβάνει δύο τριφασικούς μετρητές, ο καθένας από τους οποίους κατασκευάστηκε με τη χρήση της πλακέτας ανάπτυξης The Things Uno και τρεις αισθητήρες PZEM-004T, ένας ανά φάση, για την καταγραφή μονοφασικών ηλεκτρικών μεγεθών. Η συλλογή των δεδομένων επιτυγχάνεται μέσω ενός LoRaWAN gateway, το οποίο έχει συναρμολογηθεί βασιζόμενο σε ένα Raspberry Pi 4B, μία μονάδα συγκέντρωσης iC880A-SPI και μία κεραία σχετικά χαμηλού κέρδους των 2dBi. Το λογισμικό περιλαμβάνει την εγκατάσταση της στοίβας ανοιχτού κώδικα The Things Stack και του LoRa Basics Station, ενώ τα δεδομένα αποθηκεύονται και προβάλλονται μέσω διαδικτυακής εφαρμογής υλοποιημένης αξιοποιώντας το web framework Spring Boot της JAVA και την βιβλιοθήκη React της JavaScript.

Σκοπός της εργασίας είναι η πρακτική διερεύνηση της αξιοπιστίας, της επεκτασιμότητας και της χρηστικότητας των LoRaWAN-βασισμένων συστημάτων σε κρίσιμες εφαρμογές εποπτείας και αυτοματισμού υποσταθμών ηλεκτρικής ενέργειας.

Λέξεις Κλειδιά

LoRaWAN, υποσταθμός, απομακρυσμένη παρακολούθηση, Raspberry Pi, The Things Stack, LoRa Basics Station, end-device, IoT, Spring Boot, React

Abstract

The need for efficient monitoring and management of energy installations necessitates the development of intelligent and autonomous substation monitoring systems. In this diploma thesis, a complete system for the remote monitoring and control of an electrical substation was designed and implemented, based on LoRaWAN technology.

The system includes two three-phase meters, each built using the The Things Uno development board and three PZEM-004T sensors—one per phase—for capturing single-phase electrical measurements. Data collection is achieved through a LoRaWAN gateway based on a Raspberry Pi 4B, an iC880A-SPI concentrator module, and a high-gain antenna. The software stack includes the installation of the open-source The Things Stack and the LoRa Basics Station, while data is stored and visualized via a web application developed using Java Spring Boot and React.

The purpose of this work is to practically evaluate the reliability, scalability, and usability of LoRaWAN-based systems in critical applications related to the supervision and automation of electrical substations.

Keywords

LoRaWAN, substation, remote monitoring, Raspberry Pi, The Things Stack, LoRa Basics Station, end-device, IoT, Spring Boot, React

στοὺς γονεῖς μου

Ευχαριστίες

Θα ήθελα καταρχάς να ευχαριστήσω τον καθηγητή κ. Παναγιώτη Τσανάκα για την εμπιστευτικότητα αυτής της διπλωματικής εργασίας και ιδιαίτερα τον καθηγητή κ. Άρη Δημέα για την επίβλεψη, την καθοδήγησή του και την εξαιρετική συνεργασία που είχαμε. Τέλος θα ήθελα να ευχαριστήσω τους γονείς μου για την καθοδήγηση και την ηθική συμπαράσταση που μου προσέφεραν όλα αυτά τα χρόνια.

Αθήνα, Ιούνιος 2025

Θεόδωρος Αράπης

Περιεχόμενα

Περίληψη	1
Abstract	3
Ευχαριστίες	7
1 Εισαγωγή	17
1.1 Αντικείμενο της διπλωματικής	18
1.2 Οργάνωση του τόμου	19
I Θεωρητικό Μέρος	21
2 Τεχνολογίες LPWAN και το Πρωτόκολλο LoRaWAN	23
2.1 Εισαγωγή στα LPWAN	23
2.2 Σύγκριση Τεχνολογιών LPWAN	24
2.3 Τεχνολογία LoRa	26
2.3.1 Γενική Επισκόπηση της Τεχνολογίας LoRa	26
2.3.2 Ραδιοφωνική Διάδοση σε αστικό περιβάλλον	27
2.3.3 Chirp Spread Spectrum και η υλοποίησή του στη LoRa	34
2.3.4 Παράγοντας Εξάπλωσης και Ευαισθησία Δέκτη	36
2.3.5 Ρυθμός Συμβόλων, Chips, Bitrate και Εξισώσεις	39
2.3.6 OLD: Chirp Spread Spectrum και η υλοποίησή του στη LoRa	42
2.4 Το Πρωτόκολλο LoRaWAN	43
2.5 Ηλεκτρικοί Υποσταθμοί και Ανάγκες Εποπτείας	45
2.6 Συμπεράσματα	45
3 Περιγραφή θέματος	47
3.1 Σχετικές εργασίες	47
II Πρακτικό Μέρος	49
4 Ανάλυση και σχεδίαση	51
4.1 Ανάλυση - περιγραφή αρχιτεκτονικής	51
4.1.1 Διαχωρισμός υποσυστημάτων	51
4.1.2 Περιγραφή υποσυστημάτων	51

5 Υλοποίηση	53
5.1 Λεπτομέρειες υλοποίησης	53
5.1.1 Αλγόριθμοι	53
5.2 Περιγραφή κλάσεων	53
5.2.1 public class FirstUi	53
6 Έλεγχος	55
6.1 Μεθοδολογία Ελέγχου	55
6.2 Αναλυτική παρουσίαση ελέγχου	55
7 Παράδειγμα Πίνακα	57
7.1 Συμπεράσματα	57
7.2 Μελλοντικές Επεκτάσεις	57
8 Παράδειγμα Μαθηματικών Σχέσεων – Εκφράσεων και Αλγορίθμων	59
8.1 Συμπεράσματα	59
8.2 Μελλοντικές Επεκτάσεις	60
III Επίλογος	63
9 Επίλογος	65
9.1 Συμπεράσματα	65
9.2 Μελλοντικές Επεκτάσεις	66
Παραρτήματα	67
Α' Παράδειγμα Παραρτήματος	69
Α'.1 Πρώτη ενότητα	69
Α'.2 Μελλοντικές Επεκτάσεις	69
Β' Απόδειξη της σχέσης (8.1)	71
Β'.1 Ανάλυση - περιγραφή αρχιτεκτονικής	71
Β'.1.1 Διαχωρισμός υποσυστημάτων	71
Β'.1.2 Περιγραφή υποσυστημάτων	72
Γ' Παραδείγματα Βιβλιογραφικών Αναφορών	73
Δ' Δημιουργία Ευρετηρίου	75
Ε' Εισαγωγή Εικόνων	77
Βιβλιογραφία	81
Συντομογραφίες - Αρκτικόλεξα - Ακρωνύμια	83
Απόδοση ξενόγλωσσων όρων	85

Κατάλογος Σχημάτων

4.1	Αρχιτεκτονική Απλού Κόμβου	52
B'.1	Προσομοίωση Πύλης NOR	71

Κατάλογος Εικόνων

2.1	Σύγκριση τεχνολογιών ασύρματης επικοινωνίας (LPWAN) ως προς τον ρυθμό μετάδοσης, την κατανάλωση ενέργειας, την εμβέλεια και το κόστος.	24
2.2	Μοντέλο OSI σε αντιστοίχιση με τα LoRa και LoRaWAN επίπεδα.	27
2.3	Zώνη Fresnel με 40% της κάλυψη από εμπόδια.	29
2.4	Σύγκριση ευαισθησίας LoRa και FSK, υπογραμμίζοντας την υπεροχή της τεχνολογίας LoRa σε συνθήκες χαμηλού λόγου σήματος προς θόρυβο (SNR).	31
2.5	Παράλληλη σύγκριση ενός down-chirp (αριστερά) και ενός up-chirp (δεξιά), που δείχνει τη γραμμική μείωση/αύξηση της στιγμιαίας συχνότητας (πάνω) συνοδευόμενη από το αντίστοιχο σήμα στο πεδίο του χρόνου, όπου η απόσταση των κυμάτων εκτείνεται/συμπλέζεται καθ' όλη τη διάρκεια του συμβόλου.	35
2.6	Φασματογράφημα σήματος LoRa που παρουσιάζει 8 αρχικά up-chirps προ-οιμίου, 2 down-chirps συγχρονισμού, και ακολουθία 5 chirp με κωδικοποιημένα δεδομένα (διαφορετική κυκλική μετατόπιση σε κάθε σύμβολο). Το σήμα σαρώνει πλήρως ένα εύρος ζώνης 125 kHz με γραμμικά αυξανόμενη ή μειούμενη συχνότητα σε κάθε chirp.	36
2.7	Σχηματική απεικόνιση της κυματομορφής Chirp Spread Spectrum στο LoRa για Spreading Factor (4 bits). Το διάγραμμα δείχνει πώς κάθε σύμβολο σαρώνει γραμμικά το εύρος ζώνης από f_{low} σε f_{high} , καθώς και την αντιστοίχιση των chips σε διακριτές τιμές (0-15) μέσα σε ένα σύμβολο.	37
2.8	Απεικόνιση κυματομορφών Chirp Spread Spectrum στο LoRa για Spreading Factor 4, με ένδειξη των διακριτών τιμών (0, 4, 8, 12) στην αντίστοιχη χρονική θέση μέσα στο σύμβολο T_s . Τα μπλε σημάδια δείχνουν το κλάσμα της περιόδου συμβόλου στο οποίο εκπέμπεται κάθε τιμή, ενώ η πράσινη σήμανση αντιστοιχεί στον αριθμό του chip.	39
2.9	Τεχνολογική στοίβα των LoRa και LoRaWAN.	43
2.10	Τυπική αρχιτεκτονική LoRaWAN δικτύου.	44
2.11	Αρχιτεκτονική LoRaWAN Network Server.	44
E'.1	Βάτραχος	77

Κατάλογος Πινάκων

2.1	Συγκριτικός πίνακας τεχνολογιών NB-IoT, LTE-M και LoRa	25
2.2	Πίνακας παραμέτρων Spreading Factor και αντίστοιχων ορίων SNR.	38
2.3	'Ορια SNR και ευαισθησία δέκτη για διαφορετικά Spreading Factors, με $BW = 125kHz$ και $NF = 6dB$	39
7.1	Πίνακας αλήθειας της λογικής συνάρτησης F	58
A'.1	Πίνακας αλήθειας της λογικής συνάρτησης F	70

Κεφάλαιο 1

Εισαγωγή

Σε μια εποχή σημαδεμένη από διαρκείς τεχνολογικές εξελίξεις, η ταχύτατη ανάπτυξη του Διαδικτύου των Πραγμάτων Internet of Things - IoT ήταν αναμενόμενη, γεγονός που έχει φέρει στο προσκήνιο ένα πλήθος από νέες τεχνολογίες επικοινωνίας, ικανές να συνδέουν μία τεράστια ποικιλία απομακρυσμένων αισθητήρων και συσκευών, με μεγάλο εύρος λειτουργίας και χαμηλό ενεργειακό κόστος [1]. Μάλιστα, εκτιμάται ότι μέχρι το 2030 θα υπάρχουν περισσότερες από 30 δισεκατομμύρια συσκευές συνδεδεμένες στο διαδίκτυο παγκοσμίως [2]. Η εννόια Διαδίκτυο των Πραγμάτων περιγράφει ουσιαστικά το δίκτυο επικοινωνίας ενός πλήθους από συσκευές, εξοπλισμένα με αισθητήρες, οι οποίες μεταδίδουν, διαμοιράζουν και χρησιμοποιούν δεδομένα που λαμβάνουν από το φυσικό περιβάλλον, με σκόπο την παροχή υπηρεσιών.

Μία από τις πλέον πολλά υποσχόμενες τεχνολογίες στον χώρο των ασύρματων δικτύων ευρείας περιοχής χαμηλής ισχύος (Low Power Wide Area Networks – LPWANs) είναι το LoRaWAN. Η τεχνολογία αυτή επιτρέπει τη δημιουργία ανθεκτικών και κλιμακούμενων υποδομών επικοινωνίας με ελάχιστες ενεργειακές απαιτήσεις, καθιστώντας την ιδανική για εφαρμογές όπου η συνδεσιμότητα και η αυτονομία είναι υψηλή σημασίας.

Στον τομέα της ενέργειας και ειδικότερα στην παρακολούθηση και τον έλεγχο υποσταθμών μέσης και χαμηλής τάσης, η ανάγκη για απομακρυσμένη συλλογή μετρήσεων και δεδομένων, καθώς και του εξ αποσάσεως ελέγχου, είναι πιο επίκαιρη από ποτέ. Οι «έξυπνοι» μετρητές και τα συστήματα τηλεμετρίας επιτρέπουν την πρόβλεψη, την αποδοτικότερη κατανομή και απαραίτητη εποπτεία της κατανάλωσης, τη βελτίωση της ποιότητας της ενέργειας και την έγκαιρη ανίχνευση σφαλμάτων. Συνεπώς, η ενσωμάτωση αυτών των δυνατοτήτων με τεχνολογίες όπως το LoRaWAN αποτελεί ένα σημαντικό βήμα προς την υλοποίηση και εφαρμογή των «έξυπνων» δικτύων ενέργειας (smart grids).

Η παρούσα διπλωματική εργασία αποσκοπεί στη μελέτη, σχεδίαση και υλοποίηση ενός ολοκληρωμένου συστήματος παρακολούθησης και ελέγχου ηλεκτρικού υποσταθμού, με τη χρήση του LoRaWAN. Το σύστημα που αναπτύχθηκε περιλαμβάνει:

- δύο τριφασικούς μετρητές, βασισμένους στην πλακέτα ανάπτυξης The Things Uno της The Things Industries και σε τρεις (ανά μετρητή) μονοφασικούς αισθητήρες PZEM-004T για την μέτρηση ακολούθηση ηλεκτρικών μεγεθών,
- έναν LoRaWAN gateway, κατασκευασμένο με ένα Raspberry Pi 4B και μία μονάδα συγκέντρωσης ICS80A-SPI, στην οποία συνδέεται μία κεραία χαμηλού σχετικά κέρδους

των 2dBi,

- ανάπτυξη δυναμικής ιστοσελίδας με χρήση Java Spring Boot και React (TypeScript), με σκοπό την παρουσίαση των μετρήσεων που λαμβάνονται από τους μετρητές.

Η υλοποίηση αυτή δεν περιορίζεται μόνο στη θεωρητική διερεύνηση του προαναφερόμενου συστήματος, αλλά αποσκοπεί, επιπλέον, στην πρακτική αξιολόγηση της τεχνολογίας LoRaWAN στο πεδίο ενός IoT συστήματος παρακολούθησης υποσταθμού, επιδιώκοντας να αναδείξει τις δυνατότητες και τους περιορισμούς της όταν εφαρμόζεται σε ένα πραγματικό περιβάλλον ενεργειακής υποδομής.

1.1 Αντικείμενο της διπλωματικής

Αντικείμενο της παρούσας διπλωματικής εργασίας είναι η μελέτη, σχεδίαση και υλοποίηση ενός ολοκληρωμένου, χαμηλού κόστους και ενεργειακά αποδοτικού συστήματος απομακρυσμένης παρακολούθησης και ελέγχου ενός ηλεκτρικού υποσταθμού, αξιοποιώντας τις δυνατότητες του πρωτοκόλλου LoRaWAN. Το σύστημα αυτό εντάσσεται στο πλαίσιο των έξυπνων ενεργειακών υποδομών και της τεχνολογίας Internet of Things (IoT) και έχει στόχο τη δημιουργία μιας επεκτάσιμης και παράλληλα αξιόπιστης αρχιτεκτονικής, η οποία να μπορεί να υιοθετηθεί και σε άλλα βιομηχανικά ή ενεργειακά περιβάλλοντα.

Ο στόχος της εργασίας είναι διπτός:

1. **Πρακτική αξιοποίηση του LoRaWAN** ως βασικού μέσου επικοινωνίας για την αποστολή δεδομένων από απομακρυσμένες συσκευές μέτρησης προς ένα κεντρικό σύστημα διαχείρισης. Η τεχνολογία αυτή προσφέρει σημαντικά πλεονεκτήματα όπως μεγάλη εμβέλεια, χαμηλή κατανάλωση ενέργειας και υποστήριξη για μεγάλο αριθμό συσκευών, καθιστώντας την, επομένως, ιδανική για απαιτητικά περιβάλλοντα όπως οι ηλεκτρικοί υποσταθμοί.
2. **Ανάπτυξη ολοκληρωμένης πλατφόρμας εποπτείας και διαχείρισης ενεργειακών μετρήσεων**, η οποία επιτρέπει τη οπτικοποίηση και αποθήκευση κρίσιμων ηλεκτρικών παραμέτρων σε πραγματικό χρόνο, όπως η τάση, το ρεύμα, η ισχύς και η κατανάλωση ενέργειας, ανά φάση. Η πλατφόρμα προσφέρει δυνατότητα επεκτασιμότητας και προσαρμοστικότητας, προκειμένου να μπορεί να υποστηρίξει πολλαπλά σημεία μέτρησης, καθώς και μελλοντική ενσωμάτωση επιπρόσθετων λειτουργιών, όπως ειδοποιήσεις ή αυτοματισμούς.

Η υλοποίηση βασίστηκε σε πλήρως παραμετροποιήσιμα εξαρτήματα ανοιχτού κώδικα και λογισμικού, όπως οι συσκευές The Things Uno, οι αισθητήρες PZEM-004T, ο συγκεντρωτής σήματος iC880A-SPI, το Raspberry Pi 4B, και η πλατφόρμα The Things Stack. Τα δεδομένα διαχειρίζονται και παρουσιάζονται μέσω διαδικτυακής εφαρμογής υλοποιημένης σε εργαλέια ανοιχτού κώδικα, όπως το JAVA Spring Boot framework και η front-end βιβλιοθήκη React της JavaScript.

Τέλος, η εργασία αυτή συμβάλλει στην αξιολόγηση των τεχνικών δυνατοτήτων του LoRaWAN, όταν αυτό χρησιμοποιείται σε κρίσιμες εφαρμογές παρακολούθησης, εντοπισμού

ανωμαλιών και ενεργειακής διαχείρισης, προσφέροντας έτσι ένα αξιόπιστο πρότυπο, το οποίο να μπορεί να αναπαραχθεί ή να εξελιχθεί περαιτέρω σε μεγαλύτερα δίκτυα ή άλλους τύπους βιομηχανικών εγκαταστάσεων.

1.2 Οργάνωση του τόμου

Η εργασία είναι οργανωμένη ως εξής:

- Στο Κεφάλαιο 2 παρουσιάζεται το θεωρητικό υπόβαθρο των τεχνολογιών LPWAN, LoRa και LoRaWAN, καθώς και πληροφορίες για τα σύγχρονα συστήματα παρακολούθησης και ελέγχου υποσταθμών.
- Στο Κεφάλαιο 3 αναλύεται η τεχνολογική στοίβα που χρησιμοποιήθηκε, όπως το The Things Stack, το LoRa Basics Station, καθώς και η υποστήριξη από λογισμικά όπως το Docker.
- Στο Κεφάλαιο 4 γίνεται αναλυτική παρουσίαση του εξοπλισμού: gateway, συσκευές μέτρησης και υπολογιστική υποδομή.
- Στο Κεφάλαιο 5 καταγράφεται η υλοποίηση του συστήματος, η παραμετροποίηση του εξοπλισμού, καθώς και η ανάπτυξη της ιστοσελίδας.
- Στο Κεφάλαιο 6 παρουσιάζονται τα αποτελέσματα από τις δοκιμές και αξιολογείται η απόδοση του συστήματος.
- Τέλος, στο Κεφάλαιο 7 παρατίθενται τα συμπεράσματα και προτείνονται μελλοντικές κατευθύνσεις βελτίωσης και επέκτασης της εργασίας.

Μέρος I

Θεωρητικό Μέρος

Κεφάλαιο 2

Τεχνολογίες LPWAN και το Πρωτόκολλο LoRaWAN

2.1 Εισαγωγή στα LPWAN

Η διαρκώς αυξανόμενη ανάγκη για απομακρυσμένη και ταυτόχρονα αποδοτική, ως προς την ενέργεια, επικοινωνία μεταξύ έξυπνων συσκευών και αισθητήρων έχει οδηγήσει στην εμφάνιση και εξέλιξη μιας νέας γενιάς ασύρματων τεχνολογιών, γνωστών ως Low Power Wide Area Networks (LPWAN). Οι τεχνολογίες LPWAN επιτρέπουν την αποστολή μικρών σε ποσότητα δεδομένων σε μεγάλες αποστάσεις με εξαιρετικά χαμηλή κατανάλωση ενέργειας, καθιστώντας τις ιδιαίτερες για εφαρμογές Internet of Things (IoT), όπου η διάρκεια ζωής της μπαταρίας και η αξιοπιστία είναι κρίσιμοι παράγοντες.

Σε αντίθεση με τις τεχνολογίες Wi-Fi ή Bluetooth, οι οποίες είναι σχεδιασμένες για υψηλούς ρυθμούς μετάδοσης δεδομένων σε μικρές αποστάσεις, τα LPWAN είναι προσανατολισμένα στην υποστήριξη ενός μεγάλου αριθμού συσκευών, με δυνατότητα μετάδοσης δεδομένων σε αποστάσεις που υπερβαίνουν τα 10 χιλιόμετρα, σε ανοικτό πεδίο, και σε συχνότητες που βρίσκονται στο μη αδειοδοτημένο φάσμα (unlicensed spectrum). Το σημαντικότερο, μάλιστα, όφελος έναντι άλλων τεχνολογιών μετάδωσης πληροφορίας μεγάλου έυρους (όπως το φάσμα κινητής τηλεφωνίας 3G, 4G ή 5G), είναι η ελάχιστη ενέργεια που απαιτείται για την τροφοδοσία των αντίστοιχων συσκευών [3].

Οι πιο διαδεδομένες τεχνολογίες LPWAN είναι οι εξής:

- **NB-IoT (Narrowband Internet of Things)** – αποτελεί τεχνολογία ασύρματης επικοινωνίας και χαμηλής ισχύος, βασισμένη στο LTE (Long-Term Evolution), η οποία λειτουργεί στο αδειοδοτημένο φάσμα και προσφέρει αξιόπιστη κάλυψη εντός κτιρίων (deep indoor penetration). Αναπτύχθηκε από το 3rd Generation Partnership Project (3GPP) και υποστηρίζεται από το πρότυπο 3GPP Release 13. Έχει σχεδιαστεί για εφαρμογές με ανάγκες μαζικής συνδεσιμότητας και μικρού όγκου δεδομένων, όπως μετρητές νερού ή αερίου. Η χαμηλή κατανάλωση ενέργειας που απαιτείται για την λειτουργία των συσκευών έχει ως αποτέλεσμα η διάρκεια λειτουργίας τους να φτάνει έως και 10 χρόνια, με την χρήση μιας μόνο μπαταρίας. [4]
- **LTE-M (LTE Cat-M1)** – επίσης βασίζεται στο LTE και προσφέρει υψηλότερους ρυθμούς μετάδοσης δεδομένων από το NB-IoT (έως και 1Mbps), διατηρώντας ωστόσο εξίσου

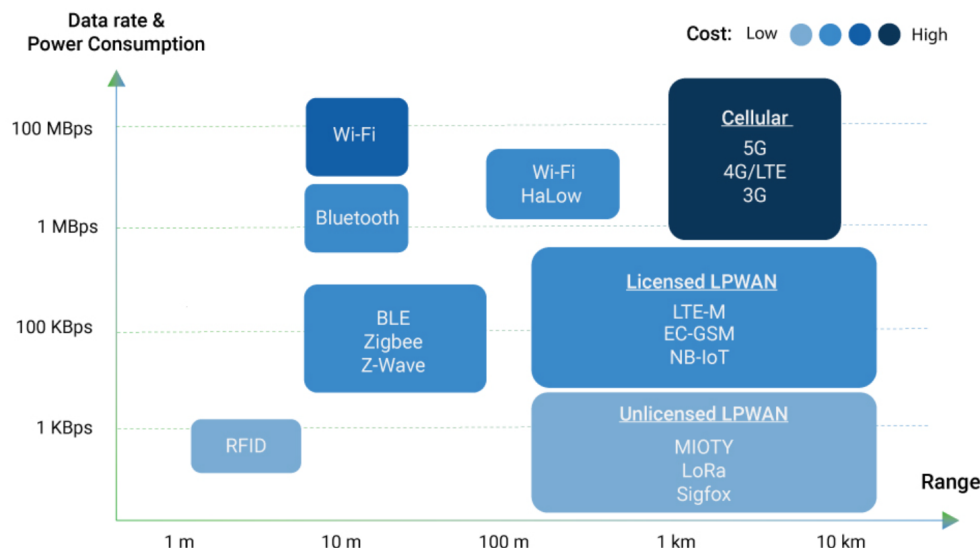
χαμηλή κατανάλωση [5]. Είναι κατάλληλο για φορητές εφαρμογές που απαιτούν αμφίδρομη επικοινωνία σε πραγματικό χρόνο, όπως η παρακολούθηση οχημάτων, οι φορητές ιατρικές συσκευές και οι φορητοί αισθητήρες. Ένα από τα κύρια πλεονεκτήματά του είναι η υποστήριξη κινητικότητας, επιτρέποντας την απρόσκοπη μετάβαση μεταξύ κυψελών, καθώς και η δυνατότητα φωνητικής επικοινωνίας μέσω VoLTE. [6]

- **LoRa και LoRaWAN** – πρόκειται για το πιο διαδεδομένο πρωτόκολλο σε μη-αδειοδοτημένο φάσμα (π.χ. 868MHz στην Ευρώπη), με κύρια πλεονεκτήματα την ευκολία υλοποίησης, τη μεγάλη αυτονομία (έως και 10 έτη), τη χαμηλή κατανάλωση ισχύος και την υψηλή ευελιξία ανάπτυξης μέσω ιδιωτικών ή δημόσιων δικτύων. Η τεχνολογία LoRa αναπτύχθηκε αρχικά από τη γαλλική Cycleo και κατοχυρώθηκε από τη Semtech, ενώ το LoRaWAN αναπτύσσεται και προτυποποιείται από τη LoRa Alliance. [7]

Τα δίκτυα LPWAN ενσωματώνονται όλο και περισσότερο σε κρίσιμες υποδομές, όπως είναι τα συστήματα παρακολούθησης ενέργειας, γεωργίας ακριβείας, έχυπνων πόλεων και βιομηχανικής αυτοματοποίησης, προσφέροντας λύσεις υψηλής κάλυψης, ανθεκτικότητας και χαμηλού κόστους εγκατάστασης.

2.2 Σύγκριση Τεχνολογιών LPWAN

Παρακάτω γίνεται η σύγκριση των διαφόρων τεχνολογιών LPWAN:



Εικόνα 2.1: Σύγκριση τεχνολογιών ασύρματης επικοινωνίας (LPWAN) ως προς τον ρυθμό μετάδοσης, την κατανάλωση ενέργειας, την εμβέλεια και το κόστος.

[8]

Οι τεχνολογίες LPWAN αποτελούν βασικό πυλώνα για την υλοποίηση ενεργειακά αποδοτικών και μεγάλης εμβέλειας εφαρμογών IoT, με διαφορετικές προσεγγίσεις ως προς το φάσμα λειτουργίας, την κατανάλωση ισχύος, την κινητικότητα και τη δυνατότητα υποστήρι-

ζης ποικίλων τύπων δεδομένων. Ακολούθως παρουσιάζονται τα προαναφερθέντα χαρακτηριστικά για τις τρεις πιο διαδεδομένες τεχνολογίες LPWAN:

Παράμετρος	NB-IoT	LTE-M	LoRa
Τυποποίηση	3GPP	3GPP	LoRa Alliance
Διαμόρφωση	QPSK, 16QAM	QPSK, 16QAM	CSS (Chirp Spread Spectrum)
Φάσμα Συχνοτήτων	Licensed 3GPP (180 kHz)	Licensed 3GPP (1.4 MHz)	Unlicensed ISM (EU 868 MHz)
Κάλυψη (Link Budget)	151 dB	146 dB	154 dB
Μέγιστο Φορτίο	1600 bytes	1000 bytes	242 bytes
Διάρκεια Ζωής Μπαταρίας	έως 10 έτη	έως 2 έτη	έως 10 έτη
Ταχύτητα Μετάδοσης	200 kbps	1 Mbps	50 kbps
Αμφίδρομη Επικοινωνία	Ναι	Ναι	Ναι
Ασφάλεια	3GPP (128-256 bit)	3GPP (128-256 bit)	AES (128 bit)
Κινητικότητα	<100 km/h	<300 km/h	Ναι
QoS	Ναι	Ναι	Όχι

Πίνακας 2.1: Συγκριτικός πίνακας τεχνολογιών NB-IoT, LTE-M και LoRa
[3], [9], [5], [7]

Η ανάλυση των επιμέρους χαρακτηριστικών των τριών τεχνολογιών δείχνει πως κάθε μία εξυπηρετεί διαφορετικές ανάγκες, ανάλογα με το σενάριο χρήσης και τις απαιτήσεις της εκάστοτε εφαρμογής.

Ξεκινώντας από την κινητικότητα, το LTE-M υπερέχει με διαφορά, καθώς υποστηρίζει μετακινήσεις με ταχύτητες έως και 300km/h και δυνατότητα handover μεταξύ κυψελών, κάτι που καθιστά εφικτή την αξιόπιστη σύνδεση σε περιπτώσεις όπως είναι η παρακολούθηση οχημάτων ή drones εν κινήσει. Από την άλλη μεριά, το NB-IoT παρέχει περιορισμένη κινητικότητα και είναι περισσότερο κατάλληλο για στατικές συσκευές, ενώ το LoRa μπορεί να χρησιμοποιηθεί για κινητές εφαρμογές μόνο αν βρίσκεται εντός εμβέλειας ενός διαθέσιμου gateway, γεγονός που περιορίζει τη χρήση του σε δυναμικά περιβάλλοντα.

Στο πεδίο της μετάδοσης δεδομένων, το LTE-M προσφέρει τους υψηλότερους ρυθμούς (1Mbps), καθώς και υποστήριξη φωνητικής επικοινωνίας μέσω VoLTE, χαρακτηριστικά που αποσιάζουν από τις άλλες δύο τεχνολογίες. Αντίθετα, το LoRa περιορίζεται σε πολύ χαμηλούς ρυθμούς (50kbytes) και είναι σχεδιασμένο κυρίως για απλές, σποραδικές μεταδόσεις.

Όσον αφορά το φάσμα λειτουργίας, τόσο το NB-IoT όσο και το LTE-M αξιοποιούν το αδειοδοτημένο φάσμα, γεγονός που προσφέρει πιο σταθερή σύνδεση, μικρότερο λανθάνοντα χρόνο και καλύτερη ποιότητα υπηρεσίας (QoS). Αυτά τα χαρακτηριστικά είναι κρίσιμα για εφαρμογές όπως POS terminals, όπου απαιτείται γρήγορη και αξιόπιστη μετάδοση συναλ-

λαγών. Από την άλλη, το LoRa λειτουργεί σε μη αδειοδοτημένο φάσμα, που αν και μειώνει το κόστος, υπόκειται σε περιορισμούς όπως το duty cycle και το fair access policy, μειώνοντας, έτσι, την αξιοπιστία σε περιβάλλοντα όπου υπάρχει υψηλή κίνηση δεδομένων.

Σε όρους ενεργειακής απόδοσης, το LoRa και το NB-IoT είναι εμφανώς πιο αποτελεσματικά, υποστηρίζοντας διάρκεια μπαταρίας έως και 10 έτη. Το LTE-M, λόγω της μεγαλύτερης κατανάλωσης ισχύος, τείνει να έχει μικρότερη διάρκεια ζωής, συνήθως μεταξύ 1-2 ετών, κάτι που πρέπει να ληφθεί υπόψη σε εφαρμογές όπου η συντήρηση των κόμβων δεν είναι εύκολη.

Ως προς την εμπορική απήχηση, οι τεχνολογίες του 3GPP (NB-IoT και LTE-M) προωθούνται κυρίως μέσω παρόχων κινητής τηλεφωνίας και ενσωματώνονται σε λύσεις ευρείας κλίμακας από τη βιομηχανία [10]. Αντίθετα, το LoRaWAN, μέσω της LoRa Alliance, διατίθεται ευρύτερα για αποκεντρωμένες και ιδιωτικές αναπτύξεις, γεγονός που το έχει καταστήσει ιδιαίτερα δημοφιλές σε αγροτικές εφαρμογές, αισθητήρες έξυπνων κτιρίων και περιβαλλοντική παρακολούθηση [11].

Συνοψίζοντας, δεν υπάρχει μία «καλύτερη» τεχνολογία για κάθε περίπτωση. Η επιλογή εξαρτάται από το εκάστοτε έργο και τους στόχους του: αν προέχει η κινητικότητα και η χαμηλή καθυστέρηση, το LTE-M είναι πιο κατάλληλο· αν ζητούμενο είναι η μεγάλη διάρκεια ζωής και το χαμηλό κόστος, το LoRa αποτελεί ιδανική επιλογή· ενώ το NB-IoT είναι ενδιάμεση λύση για στατικές εφαρμογές με αξιόπιστο σήμα και μεγάλη πυκνότητα κόμβων. Η τελική απόφαση λαμβάνει υπόψη τεχνικούς περιορισμούς, απαιτήσεις απόδοσης και το οικονομικό κόστος υλοποίησης.

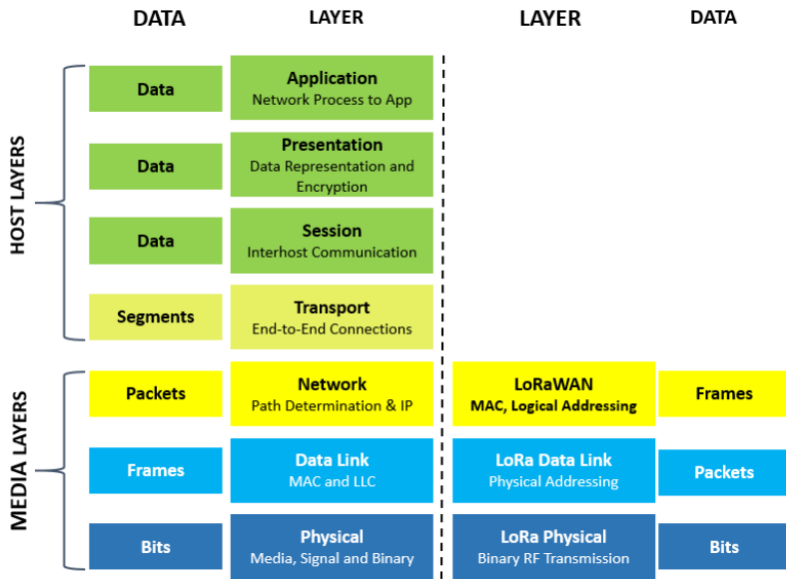
2.3 Τεχνολογία LoRa

2.3.1 Γενική Επισκόπηση της Τεχνολογίας LoRa

Ξεκινώντας με μία μικρή ιστορική αναδρομή, η τεχνολογία LoRa (Long Range) αναπτύχθηκε αρχικά το 2009 από δύο φίλους, τους Nicolas Sornin και Olivier Seller, όπου στην συνέχεια συμμετείχε στην ομάδα και ένας τρίτος συνεργάτης, o François Sforza και όλοι μαζί δημιούργησαν τη γαλλική εταιρεία Cycleo το 2010. Δύο χρόνια μετά (2012), η Cycleo εξαγοράστηκε από την αμερικανική εταιρεία Semtech [12]. Η τεχνολογία αυτή λειτουργεί αποκλειστικά στο φυσικό επίπεδο (Physical Layer, PHY) του μοντέλου αναφοράς OSI (Open Systems Interconnection model), και βασίζεται στη διαμόρφωση εξάπλωσης φάσματος τύπου Chirp Spread Spectrum (CSS), που επιτρέπει την αξιόπιστη και χαμηλής κατανάλωσης μετάδοση δεδομένων σε μεγάλες αποστάσεις. Χρησιμοποιεί το ελεύθερο φάσμα ραδιοσυχνοτήτων ISM (Industrial, Scientific and Medical), με κύρια μπάντα συχνοτήτων στην Ευρώπη τα 868MHz [7].

Η τεχνολογία LoRa παρέχει σημαντική αντοχή σε παρεμβολές, μιας και χρησιμοποιεί προσαρμοστικό ρυθμό μετάδοσης (Adaptive Data Rate - ADR), ενώ παράλληλα παρουσιάζει και υψηλή ευαισθησία δεκτών, γεγονότα που επιτρέπουν την επικοινωνία ακόμα και σε συνθήκες με μεγάλο θόρυβο από το περιβάλλον. Το εύρος ζώνης που χρησιμοποιείται (Bandwidth, BW) είναι συνήθως 125kHz, 250kHz500kHz, ανάλογα με τις ανάγκες της ε-

φαρμογής. Παράλληλα, η διαμόρφωση χρησιμοποιεί διαφορετικούς παράγοντες εξάπλωσης (Spreading Factors, SF) από 7 έως 12, που επηρεάζουν τον ρυθμό μετάδοσης δεδομένων και την εμβέλεια του σήματος [13].



Εικόνα 2.2: Μοντέλο OSI σε αντιστοίχιση με τα LoRa και LoRaWAN επίπεδα.

[7]

2.3.2 Ραδιοφωνική Διάδοση σε αστικό περιβάλλον

Στο αστικό περιβάλλον, η αξιοπιστία μιας ασύρματης ζεύξης LoRa επηρεάζεται καθοριστικά από φαινόμενα ραδιοδιάδοσης όπως η απώλεια διαδρομής (path loss), η ζώνη Fresnel, η πολυδιαδρομική διάδοση (multipath propagation) και το φαινόμενο Doppler. Παρακάτω παρουσιάζονται αυτά τα φαινόμενα με έμφαση στη φυσική τους ερμηνεία και τη σημασία τους για το LoRa, καθώς και ένα αριθμητικό παράδειγμα υπολογισμού του ισοζυγίου ζεύξης (link budget) σε αστικές συνθήκες.

Απώλεια Διαδρομής (Path Loss)

Η απώλεια διαδρομής εκφράζει την εξασθένηση της ισχύος του σήματος καθώς αυτό διαδίδεται μέσω του χώρου. Σε ελεύθερο χώρο (χωρίς εμπόδια), η απώλεια διαδρομής αυξάνεται με την απόσταση και την συχνότητα σύμφωνα με το Θεμελιώδες μοντέλο Friis. Η εξίσωση της ελεύθερης διαδρομής σε μορφή λογαριθμικής (dB) δίνεται από:

$$L_{FS}(dB) = 32.45 + 20 \log_{10}(d_{km}) + 20 \log_{10}(f_{MHz}) \quad (2.1)$$

όπου d_{km} η απόσταση σε χιλιόμετρα και f_{MHz} η συχνότητα σε MHz . Για παράδειγμα, σε συχνότητα $868MHz$ και απόσταση $2km$ (σενάριο ζεύξης LoRa στην Ευρώπη), η απώλεια ελεύθερου χώρου είναι:

$$L_{FS} = 32.45 + 20 \log_{10}(2) + 20 \log_{10}(868) \approx 97.24dB.$$

Αυτό σημαίνει ότι το σήμα εξασθενεί κατά περίπου 97 dB λόγω διάδοσης σε ελεύθερο χώρο. Σε πραγματικές αστικές συνθήκες όμως, η απώλεια διαδρομής είναι σημαντικά μεγαλύτερη από την ιδανική περίπτωση ελεύθερου χώρου. Κτίρια, τοίχοι, και γενικά τα εμπόδια σκιάζουν και διαθλούν το σήμα, με αποτέλεσμα πρόσθετες να υπάρχουν απώλειες (shadowing, diffraction losses) [14].

Εμπειρικά μοντέλα διάδοσης για πόλεις (όπως το μοντέλο Okumura-Hata) τυπικά προβλέπουν εκθέτη απωλειών μεγαλύτερο από 2 (συχνά 2.7–4 ανάλογα με την πυκνότητα των κτιρίων), γεγονός που συνεπάγεται δεκάδες dB επιπλέον εξασθένησης συγκριτικά με το ελεύθερο πεδίο. Για παράδειγμα, ένα μοντέλο Hata σε πυκνή αστική περιοχή μπορεί να δώσει απώλεια διαδρομής περίπου 130 – 140dB στα 2km, τιμή αρκετά υψηλότερη από τα περίπου 97dB του ελεύθερου χώρου. Επομένως, το σφάλμα ζεύξης (link margin) σε αστικά περιβάλλοντα μειώνεται δραστικά αν δεν υπάρχει καθαρή οπτική επαφή. Είναι ζωτικής σημασίας να λαμβάνεται υπόψη αυτή η πρόσθετη εξασθένηση κατά τον σχεδιασμό δικτύων LoRa, ώστε η διαθέσιμη στάθμη σήματος να παραμένει πάνω από την ευαισθησία του δέκτη για αξιόπιστη επικοινωνία.

Ζώνη Fresnel και Διάθλαση

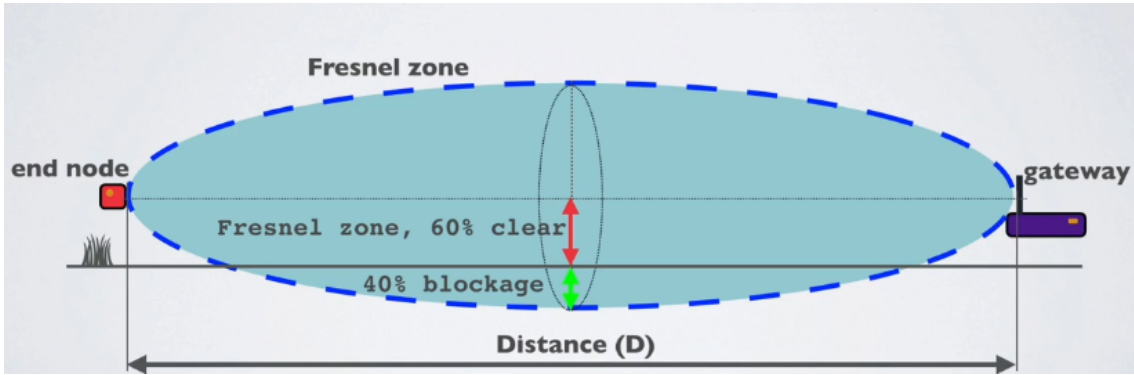
Η ζώνη Fresnel περιγράφει μια ελλειψοειδή περιοχή γύρω από την ευθεία της οπτικής επαφής μεταξύ πομπού-δέκτη, μέσα στην οποία η διάδοση συμβάλλει εποικοδομητικά στην λήψη. Για την πρώτη ζώνη Fresnel ($n = 1$), η ακτίνα F_1 στο ενδιάμεσο της διαδρομής (εκεί όπου η ζώνη είναι μεγαλύτερη) δίνεται από:

$$F_1 = \sqrt{\frac{\lambda d_1 d_2}{d_1 + d_2}}, \quad (2.2)$$

όπου λ το μήκος κύματος του σήματος, και d_1, d_2 οι αποστάσεις του σημείου από τον πομπό και το δέκτη αντίστοιχα. Για τη συχνότητα 868MHz ($\lambda \approx 0.345m$) και συνολική απόσταση 2km, η ακτίνα της 1ης ζώνης Fresnel στο μέσο της διαδρομής (δηλ. $d_1 = d_2 = 1km$) είναι:

$$F_1 \approx \sqrt{\frac{0.345 \times 1000 \times 1000}{2000}} \approx 13m.$$

Η φυσική σημασία αυτής της ζώνης είναι ότι τουλάχιστον το 60% της πρώτης ζώνης Fresnel πρέπει να είναι ελεύθερο από εμπόδια για να μην προκληθεί σημαντική πρόσθετη εξασθένηση [15]. Αν αντικείμενα (π.χ. κτίρια) παρεμβάλλονται και εισχωρούν βαθιά στη ζώνη Fresnel, το σήμα θα υποστεί διάθλαση (diffraction) γύρω από τα εμπόδια, επιφέροντας μεγάλες απώλειες πέραν της ελεύθερης διάδοσης. Σε αστικό περιβάλλον, συνήθως η ζεύξη δεν έχει καθαρή οπτική επαφή – η πρώτη ζώνη Fresnel συχνά τέμνεται από κτίρια, δέντρα ή άλλες δομές. Αυτό οδηγεί σε μη γραμμική οπτική ζεύξη (NLoS), όπου η λήψη βασίζεται σε διερχόμενα και περιθλασμένα κύματα. Το αποτέλεσμα είναι το σήμα να μειωθεί σημαντικά. Για τον σχεδιασμό δικτύου LoRa στην πόλη, συστήνεται η ανύψωση των κεραιών (π.χ. εγκατάσταση gateway σε ψηλά κτίρια) ώστε να μεγιστοποιείται η εκκαθάριση της ζώνης Fresnel και να ελαχιστοποιούνται οι απώλειες διάθλασης.



Εικόνα 2.3: Ζώνη Fresnel με 40% της κάλυψη από εμπόδια.

[16]

Πολυδιαδρομική Διάδοση (Multipath Propagation)

Λόγω των ανακλάσεων σε επιφάνειες όπως κτίρια, το έδαφος και άλλα εμπόδια, ένα ασύρματο σήμα μπορεί να φτάσει στον δέκτη μέσω πολλαπλών διαδρομών. Αυτή η πολυδιαδρομική διάδοση προκαλεί διαλείψεις (fading), μιας και τα σήματα από διαφορετικές διαδρομές μπορεί να φτάσουν με διαφορετική καθυστέρηση και φάση. Συνεπώς, εάν οι φάσεις τους είναι αντίθετες, ενδέχεται να επέλθει καταστροφική συμβολή, μειώνοντας σημαντικά την ισχύ του λαμβανόμενου σήματος (deep fade). Σε ένα δυναμικό περιβάλλον, ακόμη και μικρές μετακινήσεις ή αλλαγές μπορούν να μεταβάλουν το μοτίβο συμβολής, προκαλώντας ταχεία διακύμανση του σήματος (selective fading).

Για τα δίκτυα LoRa, η πολυδιαδρομή αποτελεί κρίσιμο φαινόμενο σε αστικές περιοχές, ωστόσο η ίδια η διαμόρφωση LoRa παρουσιάζει αξιοσημείωτη αντοχή σε multipath εξασθένιση. Η διαμόρφωση Chirp Spread Spectrum (CSS) που χρησιμοποιεί το LoRa εκπέμπει το σύμβολο ως ένα ευρύ φάσμα συχνοτήτων (chirp), γεγονός που το καθιστά λιγότερο επιρρεπές σε συχνόλεκτες διαλείψεις: το φάσμα του σήματος είναι σχετικά ευρύ και λειτουργεί αποτελεσματικά σαν ένα είδος διασποράς στο πεδίο του χρόνου και της συχνότητας [17]. Σύμφωνα με τεκμηρίωση της Semtech, το φαρδύ chirp προσδίδει στο LoRa «ανοσία στην πολυδιαδρομή και στο fading, καθιστώντας το ιδανικό για αστικά και προαστιακά περιβάλλοντα όπου αυτά τα φαινόμενα κυριαρχούν» [14]. Πειραματικές μελέτες επιβεβαιώνουν αυτήν την ανθεκτικότητα: ο Staniec και ο Kowal (2018) ανέφεραν ότι το LoRa παρουσιάζει αξιοσημείωτη ανοχή σε έντονες συνθήκες multipath και παρεμβολών, ιδίως στα χαμηλότερα bit-rate (μεγαλύτερους spreading factors). Συγκεκριμένα, οι μετρήσεις τους σε θάλαμο πολλαπλών ανακλάσεων έδειξαν πως για ένα εύρος ρυθμίσεων LoRa υφίστανται περιοχές ευαισθησίας: μια «λευκή» περιοχή όπου το σήμα είναι πρακτικά ανεπιτηρέαστο από multipath, μια «ανοιχτή γκρίζα» όπου το σύστημα εξακολουθεί να παρουσιάζει ανοχή στο multipath, αλλά αρχίζει να επηρεάζεται από ισχυρές παρεμβολές, και μια «σκούρα γκρίζα» περιοχή όπου υπό ακραίες συνθήκες το LoRa γίνεται ευάλωτο και στα δύο φαινόμενα [17].

Παρότι το LoRa είναι εγγενώς ανθεκτικό, η πολυδιαδρομική διάδοση σε αστικά περιβάλλοντα μπορεί ακόμη να δημιουργήσει προκλήσεις. Αν οι χρονικές καθυστέρησεις ορισμένων διαδρομών πλησιάσουν τη διάρκεια συμβόλου LoRa, μπορεί να προκληθεί παρεμβολή συμβόλων (inter-symbol interference). Ωστόσο, δεδομένου ότι οι ρυθμοί μετάδοσης LoRa είναι

χαμηλοί (μεγάλες διάρκειες συμβόλων ειδικά σε υψηλό SF), οι περισσότερες ανακλώμενες συνιστώσες καταφθάνουν εντός του παραθύρου ενός συμβόλου και συγχωνεύονται χωρίς να καταστρέφουν την πληροφορία. Έτσι, στην πράξη το LoRa σπανίως υφίσταται ολική απώλεια λόγω multipath, σε αντίθεση με τεχνολογίες υψηλότερου ρυθμού όπου το multipath οδηγεί σε έντονο επιλεκτικό fading. Παρ' όλα αυτά, για μέγιστη αξιοπιστία σε πόλεις, συνιστάται η επιλογή παραμέτρων που μεγιστοποιούν το link margin (π.χ. υψηλός SF που προσφέρει μεγαλύτερη ευαισθησία δέκτη) ώστε ακόμη και τυχόν βαθιές διαλείψεις να μην ρίχνουν το σήμα κάτω από το όριο λήψης.

Ισοζύγιο Ζεύξης (Link Budget)

Το ισοζύγιο ζεύξης (link budget) αποτελεί έναν από τους πιο κρίσιμους παράγοντες στον σχεδιασμό συστημάτων ασύρματης επικοινωνίας, καθώς εκφράζει το συνολικό εύρος απωλειών που μπορεί να αντέξει το σήμα κατά τη μετάδοση, χωρίς να χάσει τη δυνατότητα αξιόπιστης λήψης. Πρακτικά, το ισοζύγιο ζεύξης υπολογίζεται ως η διαφορά μεταξύ της ισχύος εκπομπής και της ελάχιστης ισχύος που απαιτεί ο δέκτης για να λειτουργήσει αποτελεσματικά:

$$\text{Link Budget (dB)} = P_{TX}(dBm) + G_{TX}(dBi) + G_{RX}(dBi) - \text{Sensitivity}_{RX}(dBm) - \text{Losses}_{misc}(dB) \quad (2.3)$$

όπου:

- P_{TX} είναι η ισχύς εξόδου του πομπού (σε dBm),
- G_{TX}, G_{RX} είναι τα κέρδη των κεραιών εκπομπού και δέκτη αντίστοιχα (σε dBi),
- Sensitivity_{RX} είναι η ευαισθησία του δέκτη (σε dBm),
- Losses_{misc} είναι διάφορες επιπλέον απώλειες (π.χ. λόγω καλωδίων, συνδέσεων ή περιβαλλοντικών συνθηκών).

Η υψηλή τιμή του ισοζυγίου ζεύξης υποδηλώνει ότι το σύστημα μπορεί να λειτουργήσει αξιόπιστα ακόμα και με πολύ ασθενή σήματα ή σε δύσκολες συνθήκες μετάδοσης (π.χ. απομακρυσμένες συσκευές, αστικά περιβάλλοντα με πολλά εμπόδια). Η τεχνολογία LoRa είναι γνωστή για το ιδιαίτερα υψηλό ισοζύγιο ζεύξης της, που τυπικά μπορεί να φτάσει έως και 154dB, ανάλογα με τις παραμέτρους της διαμόρφωσης (κυρίως τον παράγοντα εξάπλωσης SF και το εύρος BW).

Η επίτευξη υψηλού ισοζυγίου ζεύξης στο LoRa προέρχεται από δύο βασικά χαρακτηριστικά:

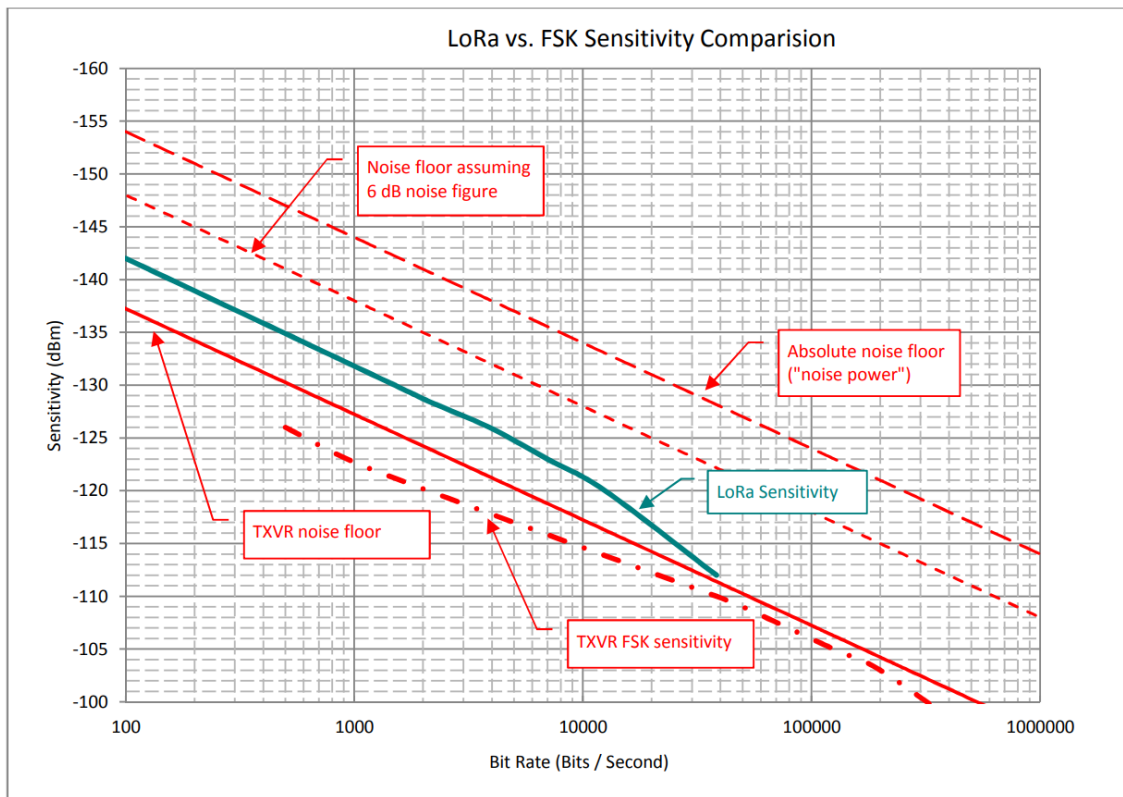
- **Υψηλή Ευαισθησία Δεκτών:** Οι δέκτες LoRa είναι σχεδιασμένοι ώστε να μπορούν να αποκωδικοποιούν σήματα πολύ χαμηλής έντασης, ακόμη και κάτω από το επίπεδο του θορύβου. Χαρακτηριστικά, η ευαισθησία των δεκτών LoRa κυμαίνεται από $-125dBm$ (για SF7, BW = 125kHz) έως $-137dBm$ (για SF12, BW = 125kHz), κάτι που επιτρέπει την λήψη εξαιρετικά ασθενών σημάτων από πολύ μεγάλες αποστάσεις [14].
- **Χαμηλός Ρυθμός Μετάδοσης και Διαμόρφωση Συρέως Φάσματος (Spread Spectrum):** Η διαμόρφωση LoRa (Chirp Spread Spectrum, CSS) διαχέει το σήμα σε μεγάλο

χρονικό διάστημα και εύρος ζώνης, αυξάνοντας την πιθανότητα αξιόπιστης λήψης του σήματος. Με τον τρόπο αυτό επιτυγχάνεται ένα κέρδος επεξεργασίας (processing gain) που δίνεται περίπου από τη σχέση :

$$G_{processing} = 10 \cdot \log_{10} \left(\frac{BW}{R_{data}} \right) \quad (2.4)$$

όπου BW είναι το εύρος ζώνης μετάδοσης και R_{data} ο ρυθμός δεδομένων. Αυτό το κέρδος επεξεργασίας ενισχύει το σήμα σε σχέση με τον θόρυβο, επιτρέποντας την αποκαδικοποίηση ακόμη και υπό πολύ χαμηλές τιμές λόγου σήματος προς θόρυβο (SNR) [14].

Η τεχνολογία LoRa συγκρινόμενη με την παραδοσιακή διαμόρφωση συχνότητας (Frequency Shift Keying - FSK), η οποία χρησιμοποιείται ευρέως σε άλλες εφαρμογές ασύρματης επικοινωνίας, παρουσιάζει σημαντικά υψηλότερη ευαισθησία. Αυτό οφείλεται στο ότι η FSK απαιτεί ένα ελάχιστο θετικό SNR για αξιόπιστη αποκαδικοποίηση, ενώ η LoRa μπορεί να λειτουργήσει ακόμα και με αρνητικό SNR, με το σήμα κυριολεκτικά «θαμμένο» μέσα στο θόρυβο, όπως φαίνεται και στο Σχήμα 2.4.



Εικόνα 2.4: Σύγκριση ευαισθησίας LoRa και FSK, υπογραμμίζοντας την υπεροχή της τεχνολογίας LoRa σε συνθήκες χαμηλού λόγου σήματος προς θόρυβο (SNR).

[14]

Συνοψίζοντας, το υψηλό ισοζύγιο ζεύξης είναι ο κύριος λόγος που η τεχνολογία LoRa μπορεί να επιτύχει επικοινωνία σε πολύ μεγάλες αποστάσεις (έως και δεκάδες χιλιόμετρα σε ανοιχτό πεδίο), με πολύ χαμηλή ισχύ εκπομπής, καθιστώντας την ιδανική για εφαρμογές

χαμηλής κατανάλωσης σε περιβάλλοντα όπου η συντήρηση και η αντικατάσταση μπαταριών είναι δύσκολη ή και αδύνατη.

Φαινόμενο Doppler

Το φαινόμενο Doppler είναι η μεταβολή της συχνότητας ενός κύματος λόγω σχετικής κίνησης πομπού ή δέκτη. Στα αισύρματα δίκτυα, εάν ένας κόμβος LoRa κινείται (π.χ. αισθητήρας σε όχημα) ή αν το περιβάλλον μεταβάλει αποτελεσματικά τη συχνότητα (π.χ. ανακλώμενη διάδοση από κινούμενα αντικείμενα), η φέρουσα συχνότητα του σήματος όπως την αντιλαμβάνεται ο δέκτης μετατοπίζεται. Η μετατόπιση Doppler Δf προσεγγίζεται από τη σχέση:

$$\Delta f \approx \frac{v}{c} f_c, \quad (2.5)$$

όπου v η σχετική ταχύτητα πομπού-δέκτη, c η ταχύτητα του φωτός και f_c η φέρουσα συχνότητα. Για παράδειγμα, στα 868MHz, αν ένας αισθητήρας κινείται με $v = 100km/h$ ($\approx 27.8m/s$), τότε η παρατηρούμενη συχνότητα μετατοπίζεται κατά:

$$\Delta f \approx \frac{27.8}{3 \times 10^8} \times 868 \times 10^6 \approx 80Hz.$$

Μια μετατόπιση περίπου 80Hz είναι αμελητέα συγκριτικά με το εύρος ζώνης του LoRa (τυπικά 125kHz), και συνεπώς δεν υποθαθμίζει την αξιοπιστία του σήματος. Γενικά, το LoRa είναι εξαιρετικά ανεκτικό στο φαινόμενο Doppler για τις συνήθεις ταχύτητες που συναντώνται σε αστικά σενάρια (π.χ. οχήματα). Η ίδια η διαμόρφωση με chirp καθιστά το σήμα ανθεκτικό σε μικρές συχνές αποκλίσεις: μια μόνιμη μετατόπιση συχνότητας λόγω Doppler απλώς μεταφράζεται σε μια μικρή χρονική ολίσθηση του τοπικού χρονοδιαγράμματος αποδιαμόρφωσης, κάτι που ο δέκτης LoRa μπορεί να αντιμετωπίσει χωρίς σημαντικές απώλειες απόδοσης. Στην πράξη, αυτό σημαίνει ότι δεν απαιτούνται κρύσταλλοι υψηλής ακρίβειας για τους ταλαντωτές και ότι το LoRa λειτουργεί αξιόπιστα ακόμη και σε κινητικές εφαρμογές, όπως σε αισθητήρες πίεσης ελαστικών, συστήματα διοδίων ή συσκευές σε μέσα μεταφοράς [14].

Φυσικά, σε ακραίες περιπτώσεις πολύ υψηλών ταχυτήτων (πέρα από τα αστικά δεδομένα, π.χ. σε δορυφορικές ζεύξεις LoRa) το φαινόμενο Doppler μπορεί να γίνει υπολογίσιμο, απαιτώντας τεχνικές διόρθωσης (frequency offset compensation). Όμως για επίγειες αστικές επικοινωνίες LoRa, ακόμη και ταχύτητες της τάξης των 100 – 200km/h μπορούν να εξυπηρετηθούν χωρίς αξιόλογη υποβάθμιση της ευαισθησίας [14]. Συνοψίζοντας, το φαινόμενο Doppler δεν αποτελεί κυρίαρχο περιορισμό στην αξιοπιστία ενός στατικού δικτύου LoRa ή με αργά κινούμενους κόμβους στην πόλη.

Παράδειγμα Υπολογισμού Απώλειας Διαδρομής και Link Budget

Στην ενότητα αυτή παρουσιάζεται ένα αριθμητικό παράδειγμα που συνδυάζει τον υπολογισμό της απώλειας διαδρομής και του ισοζυγίου ζεύξης (link budget) για μια χαρακτηριστική σύνδεση LoRa σε αστικό περιβάλλον. Ας θεωρήσουμε ένα σενάριο όπου:

- Συχνότητα λειτουργίας: $f = 868MHz$ (ζώνη EU863-870).

- Απόσταση πομπού-δέκτη: $d = 2km$ (αστικό περιβάλλον, πιθανώς χωρίς καθαρή οπτική επαφή).
- Ισχύς εκπομπής πομπού: $P_{TX} = 14dBm$ (τυπικό μέγιστο LoRa επιτρεπόμενο στην ΕΕ).
- Κέρδος κεραίας πομπού/δέκτη: $G_{TX} = 0dBi$ (μικρή μονοπολική στοναισθητήρα), $G_{RX} = 2dBi$ (κεραία gateway).
- Απώλειες καλωδίων/συνδέσεων: $L_{misc} = 2dB$ (π.χ. απώλεια ομοαξονικού στον σταθμό βάσης).
- Ευαισθησία δέκτη: $S_{min} \approx -137dBm$ (υψηλή ευαισθησία, π.χ. LoRa δέκτης σε $SF = 12, BW = 125kHz$) [18].

1. Υπολογισμός απώλειας διαδρομής: Χρησιμοποιούμε πρώτα την εξίσωση ελεύθερου χώρου. Για $d = 2km$, $f = 868MHz$, όπως υπολογίστηκε προηγουμένως, $L_{FS} \approx 97.4dB$. Σε αστικό περιβάλλον χωρίς οπτική επαφή, θα προσθέσουμε μια επιπλέον απώλεια λόγω σκίασης/διάθλασης. Ας υποθέσουμε μια συντηρητική επιπλέον εξασθένηση $L_{urban} = 20 dB$ (λόγω κτιρίων που μερικώς φράσσουν τη ζώνη Fresnel και προκαλούν διάθλαση). Έτσι, η συνολική εκτιμώμενη απώλεια διαδρομής γίνεται:

$$L_{path} = L_{FS} + L_{urban} \approx 97.4 + 20 = 117.4dB.$$

2. Λήψη και Ισοζύγιο Ζεύξης: Το ισοζύγιο ζεύξης λαμβάνει υπόψη όλα τα κέρδη και τις απώλειες από τον πομπό έως τον δέκτη. Η ισχύς που φτάνει στον δέκτη (P_{RX} σε dBm) δίνεται από:

$$P_{RX} = P_{TX} + G_{TX} + G_{RX} - L_{path} - L_{misc}.$$

Αντικαθιστώντας τις αριθμητικές τιμές:

$$P_{RX} = 14dBm + 0dB + 2dB - 117.4 dB - 2dB.$$

$$P_{RX} \approx -103.4dBm.$$

Η λαμβανόμενη ισχύς εκτιμάται περίπου $-103.4dBm$.

3. Σύγκριση με ευαισθησία δέκτη: Δεδομένου ότι ο δέκτης LoRa (με $SF = 12$) μπορεί να ανιχνεύσει σήματα έως και $S_{min} \approx -137dBm$, το συγκεκριμένο σενάριο παρουσιάζει ένα περιθώριο ζεύξης γύρω στα $33.6dB$ (διαφορά μεταξύ $-103.4dBm$ και $-137dBm$). Αυτό το περιθώριο είναι πολύ άνετο – υπερκαλύπτει τυχόν επιπλέον απώλειες λόγω πιο έντονου fading ή παρεμβολών, εξασφαλίζοντας αξιόπιστη επικοινωνία. Σημειώνεται ότι το υπολογισθέν L_{path} περιείχε ήδη ένα αποθεματικό $20dB$ για αστικό περιβάλλον. στην πράξη, αν η ζεύξη είχε οπτική επαφή (LoS) το περιθώριο θα ήταν ακόμη μεγαλύτερο.

4. Επίδραση παραμέτρων LoRa: Αξίζει να τονιστεί ότι η ευαισθησία $-137dBm$ αντιστοιχεί σε διαμόρφωση LoRa με τον πιο παρατεταμένο χρόνο συμβόλου ($SF12, BW125kHz$) [18]. Εάν χρησιμοποιούνταν μια ταχύτερη διαμόρφωση (π.χ. $SF7$ με ευαισθησία περί τα $-123dBm$), το περιθώριο ζεύξης θα μειωνόταν (περίπου $20dB$ λιγότερο ευαίσθητος δέκτης) αλλά πιθανώς να παρέμενε επαρκές για $2km$. Στην περίπτωσή μας, με $SF12$, το πολύ

μεγάλο link margin των $33+ dB$ υποδηλώνει ότι η ζεύξη θα εξακολουθούσε να λειτουργεί ακόμα κι αν η απώλεια διαδρομής ήταν σημαντικά μεγαλύτερη (π.χ. περίπου μέχρι $150dB$ συνολικά). Πράγματι, τα σύγχρονα LoRa transceivers υποστηρίζουν μέγιστο link budget της τάξης των $155 - 170dB$, ικανό να καλύψει αποστάσεις πολλών δεκάδων χιλιομέτρων σε ιδανικές συνθήκες. Στο δικό μας σενάριο, μια απώλεια περίπου $117dB$ είναι αρκετά χαμηλή συγκριτικά με το διαθέσιμο link budget (περίπου $154dB$ με $168dB$ ανάλογα τον δέκτη), εξηγώντας γιατί οι ζεύξεις LoRa μπορούν να επιτύχουν αξιόπιστη επικοινωνία ακόμα και σε αστικό περιβάλλον με διάφορες προκλήσεις διάδοσης [13].

Συμπέρασμα του παραδείγματος: Με τις παραπάνω παραμέτρους, η ζεύξη LoRa στα $2km$ όχι μόνο «κλείνει» (δηλαδή το σήμα υπερβαίνει το κατώφλι ευαισθησίας του δέκτη), αλλά διαθέτει και σημαντικό περιθώριο αξιοπιστίας. Αυτό το περιθώριο μπορεί να απορροφήσει επιπλέον απώλειες από φαινόμενα όπως εξασθένιση multipath, μελλοντική υποβάθμιση σήματος λόγω παρεμβολών, ή μείωση ισχύος μπαταρίας του πομπού. Δείχνει επίσης τη σπουδαιότητα του link budget: συνδυάζοντας υψηλή ευαισθησία δέκτη, επαρκή ισχύ εκπομπής και κεραίες με μικρά έστω κέρδη, το LoRa πετυχαίνει μεγάλες εμβέλειες. Σε ακραίες αστικές συνθήκες (π.χ. πολύ πυκνό αστικό τοπίο, εσωτερικό κτιρίων), το περιθώριο αυτό θα μειωθεί, ωστόσο η εγγενής ανθεκτικότητα του πρωτοκόλλου (λόγω του χαμηλού ρυθμού μετάδοσης και του spread spectrum) επιτρέπει στο LoRa να διατηρεί επικοινωνία ακόμη και εκεί όπου άλλα συστήματα υψηλότερης συχνότητας ή ταχύτητας αποτυγχάνουν.

2.3.3 Chirp Spread Spectrum και η υλοποίησή του στη LoRa

Η τεχνολογία LoRa χρησιμοποιεί τη διαμόρφωση φάσματος διασποράς με chirp (Chirp Spread Spectrum, CSS). Η τεχνική αυτή αναπτύχθηκε αρχικά τη δεκαετία του 1940 για εφαρμογές ραντάρ και έκτοτε έχει χρησιμοποιηθεί σε στρατιωτικά και ασφαλή συστήματα επικοινωνιών [19]. Τα τελευταία χρόνια γνωρίζει ευρεία εφαρμογή σε ασύρματες επικοινωνίες δεδομένων, λόγω των σχετικά χαμηλών απαιτήσεων ισχύος και της έμφυτης ανθεκτικότητάς της έναντι παραγόντων υποβάθμισης του καναλιού, όπως η πολλαπλή διάδοση, το fading, το φαινόμενο Doppler κλπ. που αναφέρθηκαν προηγουμένως [14]. Μάλιστα, ένα φυσικό στρώμα βασισμένο σε CSS υιοθετήθηκε από το πρότυπο IEEE 802.15.4a για ασύρματα προσωπικά δίκτυα χαμηλού ρυθμού (LR-WPAN) που απαιτούν μεγαλύτερη εμβέλεια και κινητικότητα, ως εναλλακτική του DSSS με O-QPSK [19].

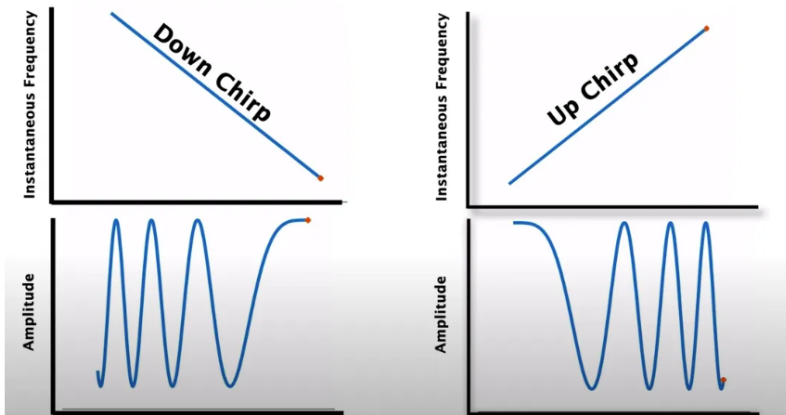
Σε αυτό το σχήμα διαμόρφωσης, κάθε σύμβολο μεταδίδεται ως ένα ημιτονοειδές σήμα (σήμα chirp). Συνεπώς, αντί για χρήση ψευδοτυχαίων κώδικων διάχυσης φάσματος όπως στο DSSS, στη LoRa το φάσμα διασπείρεται μέσω σημάτων chirp – παλμών των οποίων η συχνότητα μεταβάλλεται γραμμικά με τον χρόνο. Ένα τέτοιο chirp σαρώνει ολόκληρο το διαθέσιμο εύρος ζώνης κατά τη διάρκεια ενός συμβόλου. Ένα σημαντικό πλεονέκτημα αυτής της μεθόδου είναι ότι τυχόν διαφορές χρονισμού ή/και συχνότητας μεταξύ πομπού και δέκτη αντισταθμίζονται αυτόματα (καθώς και οι δύο υφίστανται την ίδια μετατόπιση), γεγονός που απλοποιεί σημαντικά τον σχεδιασμό και τη διαδικασία συγχρονισμού του δέκτη [14]. Το φάσμα συχνότητας του chirp καθορίζεται από το εύρος ζώνης BW (Bandwidth) του σήματος – στην ουσία, το εύρος ζώνης του chirp είναι ίσο με το εύρος ζώνης του εκπεμπόμενου σήματος. Η επιθυμητή πληροφορία (τα δεδομένα) «τεμαχίζεται» σε πολύ υψηλότερο ρυθμό

(chips) και κάθε σύμβολο μεταδίδεται ως ένα chirp μέσα στο συγκεκριμένο εύρος ζώνης, ενσωματώνοντας τα δεδομένα στην αρχική φάση ή συχνότητα του chirp.

Στην πράξη, ένα up-chirp (που η συχνότητά του αυξάνεται γραμμικά) χρησιμοποιείται για την εκπομπή των συμβόλων, ενώ η LoRa ορίζει και ειδικά down-chirps (φθίνουσας συχνότητας) για σήματα συγχρονισμού και τερματισμού. Η κυματομορφή ενός ιδανικού up-chirp μπορεί να περιγραφεί μαθηματικά ως σήμα συχνότητας που μεταβάλλεται με σταθερό ρυθμό. Για παράδειγμα, ένα απλοποιημένο μοντέλο up-chirp ξεκινώντας από συχνότητα f_0 μπορεί να γραφεί ως:

$$s(t) = \cos(2\pi f_0 t + \pi \frac{BW}{T_s} t^2), \quad 0 \leq t < T_s, \quad (2.6)$$

όπου T_s η διάρκεια του συμβόλου (chirp). Στο διάστημα αυτό, η στιγμαία συχνότητα του $s(t)$ αυξάνεται γραμμικά από f_0 έως $f_0 + BW$. Χάρη στην τεχνική CSS, οι δέκτες LoRa μπορούν να ανιχνεύσουν σήματα έως και 19.5 dB κάτω από το επίπεδο θορύβου του καναλιού, αξιοποιώντας διαδικασίες συσχέτισης (correlation/demodulation) που συμπιέζουν το διεσπαρμένο σήμα πίσω στο αρχικό φάσμα του [19]. Συγκριτικά με τα συστήματα DSSS που χρησιμοποιούν ακολουθίες ψευδοθορύβου (όπως π.χ. το 802.11 ή το UMTS), η LoRa χρησιμοποιεί chirp pulses αντί για ψευδοτυχαίους κώδικες για τη διασπορά [19]. Το εκπεμπόμενο σήμα LoRa έχει συνεχή χαρακτηριστική με σταθερή περιβάλλουσα διαμόρφωση (constant envelope FM), η οποία αυξάνεται ή μειώνεται μονοτονικά εντός του διαθέσιμου φάσματος. Αυτή η προσέγγιση επιτυγχάνει την ίδια λειτουργία διάχυσης φάσματος, με χαμηλή πολυπλοκότητα και χωρίς να απαιτείται ακριβής γεννήτρια χρονισμού για μακρές ακολουθίες κώδικα, όπως συνέβαινε σε DSSS εφαρμογές (π.χ. GPS) [14]. Συνολικά, η CSS διαμόρφωση της LoRa παρέχει μια ανθεκτική λύση spread spectrum με χαμηλό κόστος και κατανάλωση, κατάλληλη για δίκτυα IoT μεγάλης εμβέλειας.

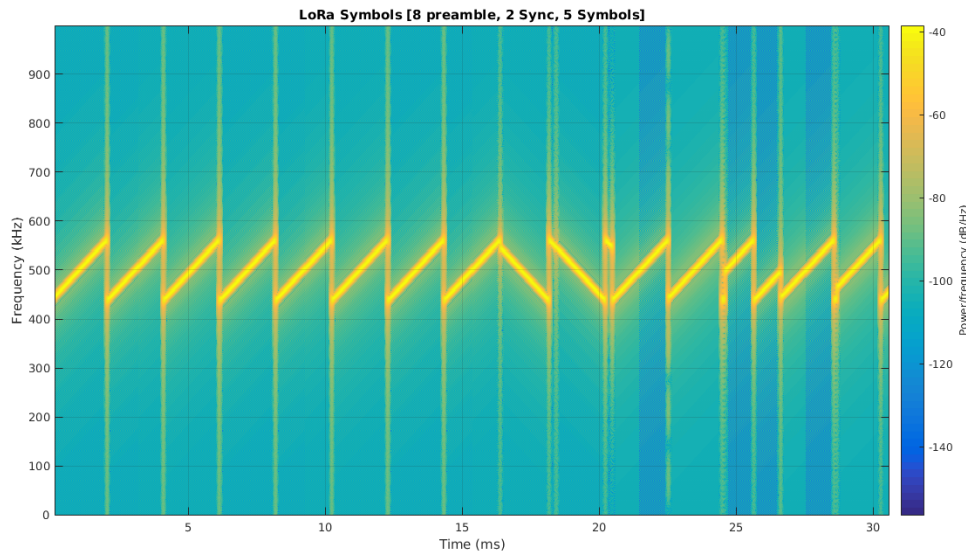


Εικόνα 2.5: Παράλληλη σύγκριση ενός down-chirp (αριστερά) και ενός up-chirp (δεξιά), που δείχνει τη γραμμική μείωση/αύξηση της στιγμαίας συχνότητας (πάνω) συνοδευόμενη από το αντίστοιχο σήμα στο πεδίο του χρόνου, όπου η απόσταση των κυμάτων εκτείνεται/συμπιέζεται καθ' όλη τη διάρκεια του συμβόλου.

[20]

Η μετάδοση ενός πακέτου LoRa αρχίζει με έναν προκαθορισμένο πρόλογο (preamble) από διαδοχικά up-chirps που επιτρέπουν στον δέκτη να αντιληφθεί την παρουσία σήματος

και να συγχρονίσει τη συχνότητα και το ρολόι του. Τυπικά χρησιμοποιούνται 8 σύμβολα προοιμίου (στην Ευρώπη), τα οποία ακολουθούνται από 2 ειδικά down-chirps που σηματοδοτούν το τέλος του προοιμίου και βοηθούν στον ακριβή συγχρονισμό φάσης του δεκτή [21]. Μετά το προοίμιο, έπονται τα chirps που μεταφέρουν τα ωφέλιμα δεδομένα, καθένα εκ των οποίων έχει τροποποιηθεί κυκλικά ως προς τη φάση ώστε να αντιστοιχεί σε μια συγκεκριμένη ακολουθία bits.



Εικόνα 2.6: Φασματογράφημα σήματος LoRa που παρουσιάζει 8 αρχικά up-chirps προοιμίου, 2 down-chirps συγχρονισμού, και ακολουθία 5 chirp με κωδικοποιημένα δεδομένα (διαφορετική κυκλική μετατόπιση σε κάθε σύμβολο). Το σήμα σαρώνει πλήρως ένα εύρος ζώνης 125 kHz με γραμμικά αυξανόμενη ή μειούμενη συχνότητα σε κάθε chirp.

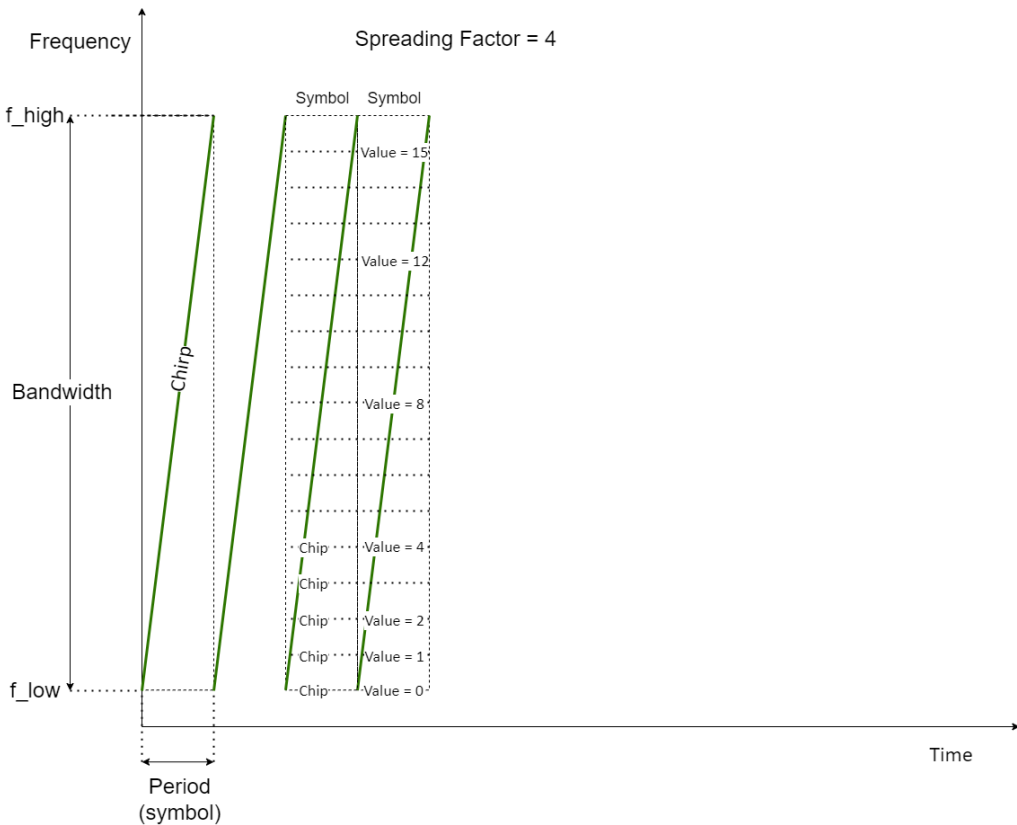
[21]

2.3.4 Παράγοντας Εξάπλωσης και Ευαισθησία Δέκτη

Όπως έχει τίδη φανεί, βασική παράμετρος στην διαμόρφωση του σήματος LoRa είναι ο Παράγοντας Εξάπλωσης (Spreading Factor, SF). Ο SF ορίζει τον βαθμό διασποράς του σήματος – ουσιαστικά ισούται με τον αριθμό των bits που κωδικοποιούνται σε κάθε σύμβολο. Μια μετάδοση με $SF = n$ σημαίνει ότι κάθε σύμβολο αντιστοιχεί σε n bits ωφέλιμης πληροφορίας, τα οποία διασπείρονται σε ένα chirp διάρκειας 2^n chips.

Συνολικά, υπάρχουν διαθέσιμες 6 διακριτές τιμές (τυπικά $SF = 7$ έως $SF = 12$) για το LoRa PHY¹. Μεγαλύτερος SF συνεπάγεται περισσότερα chips ανά σύμβολο και άρα μεγαλύτερη διάρκεια συμβόλου, κάτι που μειώνει τον ρυθμό μετάδοσης δεδομένων αλλά αυξάνει το processing gain και την ευαισθησία του δέκτη. Αντίθετα, μικρότερος SF δίνει ταχύτερη μετάδοση (περισσότερα symbol/s) αλλά με χαμηλότερη επεξεργαστική ενίσχυση και συνεπώς μικρότερη ακτίνα αξιόπιστης επικοινωνίας. Στην πράξη, κάθε αύξηση του SF κατά 1 περίπου μονάδα διπλασιάζει τη διάρκεια του συμβόλου (για σταθερό εύρος ζώνης), με αποτέλεσμα να υποδιπλασιάζεται ο ρυθμός δεδομένων και να απαιτείται υψηλότερο E_b/N_0 (SNR).

¹ Υπάρχει επίσης $SF = 6$ σε ορισμένες υλοποιήσεις, αλλά χρησιμοποιείται μόνο σε ειδικές περιπτώσεις και με διαφοροποιημένο πρωτόκολλο διαμόρφωσης.



Εικόνα 2.7: Σχηματική απεικόνιση της κυματομορφής Chirp Spread Spectrum στο LoRa για Spreading Factor (4 bits). Το διάγραμμα δείχνει πώς κάθε σύμβολο σαράνει γραμμικά το εύρος ζώνης από f_{low} σε f_{high} , καθώς και την αντιστοίχιση των chips σε διακριτές τιμές (0-15) μέσα σε ένα σύμβολο.

[22]

per bit) για σωστή λήψη (αν δεν αλλάζει η ισχύς) [23]. Από την άλλη, ένα μεγαλύτερο SF επιτρέπει στο σήμα να ταξιδέψει μακρύτερα, αφού μπορεί να ανακτηθεί σωστά ακόμα και με πολύ χαμηλότερο SNR στο δέκτη λόγω του υψηλού κέρδους διασποράς – π.χ. ένα πακέτο με $SF = 12$ μπορεί να φτάσει αποδοτικά πιο μακριά από ένα με $SF = 7$, υπό τις ίδιες λοιπές συνθήκες [23]. Η επιλογή του SF σε δίκτυα LoRaWAN γίνεται συνήθως δυναμικά, μέσω του μηχανισμού Adaptive Data Rate, ώστε να επιτευχθεί ισορροπία μεταξύ ρυθμού μετάδοσης και αξιοπιστίας/απόστασης για κάθε συσκευή.

Ένα ιδιαίτερα σημαντικό χαρακτηριστικό της LoRa είναι ότι τα σήματα που χρησιμοποιούν διαφορετικούς SF (σε κοινό κανάλι συχνότητας και εύρους ζώνης) είναι σχεδόν ορθογώνια μεταξύ τους [13]. Αυτό σημαίνει ότι μια πύλη (gateway) LoRa μπορεί να λαμβάνει και να διαχωρίζει ταυτόχρονα πολλαπλές μεταδόσεις στην ίδια συχνότητα, εφόσον αυτές γίνονται με διαφορετικούς spreading factors – χωρίς ουσιαστική αλληλοπαρεμβολή. Η ορθογωνικότητα προκύπτει διότι τα διασπειρόμενα σήματα με διαφορετικό SF έχουν πολύ χαμηλή συσχέτιση: η εγκάρσια συσχέτιση των αντίστοιχων σειρών chips τείνει στο μηδέν, με αποτέλεσμα ένα πακέτο π.χ. $SF = 10$ να εμφανίζεται ως θόρυβος στον δέκτη που «ακούει» $SF = 7$ και αντιστρόφως [24]. Αυτό επιτρέπει την ταυτόχρονη εξυπηρέτηση πολλών κόμβων στον ίδιο δίαυλο – ουσιαστικά πολλαπλασιάζοντας την χωρητικότητα του καναλιού, αφού συσκευές με διαφορετικό SF δεν μετρούν ως collision μεταξύ τους στο επίπεδο PHY. Η ιδιότητα αυτή αξιο-

ποιείται από το πρωτόκολλο LoRaWAN για τον έλεγχο της συμφόρησης: το δίκτυο μπορεί να αναθέτει υψηλότερους SF σε απομακρυσμένες ή δυσμενείς συσκευές και χαμηλότερους SF σε συσκευές με καλό σήμα, έτσι ώστε όλες να γίνονται αξιόπιστα αντιληπτές από τον δέκτη, μοιράζοντας το κανάλι χωρίς ανταγωνισμό [23].

Σημειώνεται ότι η ορθογωνικότητα μεταξύ διαφορετικών SF ισχύει αυστηρά μόνο όταν χρησιμοποιείται το ίδιο BW . Αν δύο μεταδόσεις χρησιμοποιούν διαφορετικό εύρος ζώνης και κατάλληλους SF τέτοιους ώστε να έχουν τον ίδιο ρυθμό chips, τότε οι γραμμικές σαρώσεις συχνότητας (chirps) θα έχουν ίδια «κλίση» και τα δύο σήματα δεν θα διαχωρίζονται καλά. Για παράδειγμα, ένας συνδυασμός $SF = 7$ με $BW = 125kHz$ και ένας άλλος με $SF = 9$ και $BW = 250kHz$ παράγουν το ίδιο chip rate (R_c) και ουσιαστικά το ίδιο chirp rate (ρυθμό μεταβολής συχνότητας), άρα τα σήματα δεν είναι ορθογώνια μεταξύ τους. Στην πράξη αυτό αποφεύγεται διότι κάθε κανάλι LoRa ορίζεται από συγκεκριμένο εύρος ζώνης (π.χ. $125kHz$) και μόνο ο SF μεταβάλλεται. Όλοι οι κόμβοι σε ένα συγκεκριμένο κανάλι χρησιμοποιούν το ίδιο BW (συνήθως $125kHz$ στην Ευρώπη), διασφαλίζοντας την ορθογωνικότητα μεταξύ των διαθέσιμων $SF7 - SF12$.

Spreading Factor	Chips per symbol	$SNR_{limit}(dB)$
7	128	-7.5
8	256	-10
9	512	-12.5
10	1024	-15
11	2048	-17.5
12	4096	-20

Πίνακας 2.2: Πίνακας παραμέτρων Spreading Factor και αντίστοιχων ορίων SNR.

Ευαισθησία Δέκτη

Η ευαισθησία του δέκτη ενός συστήματος LoRa είναι το ελάχιστο επίπεδο ισχύος στο οποίο μπορεί να ανιχνευθεί σωστά το σήμα, δεδομένου ενός συγκεκριμένου SNR . Η ευαισθησία υπολογίζεται από τη σχέση:

$$S(dBm) = -174 + 10 \log_{10}(BW) + NF + SNR_{limit}, \quad (2.7)$$

όπου:

- $-174dBm/Hz$: η θερμική πυκνότητα θορύβου στους $25^{\circ}C$,
- BW : το εύρος ζώνης σε Hz ,
- NF : ο συντελεστής θορύβου Noise Figure του δέκτη (συνήθως περίπου $6dB$, προκαθορισμένο αναλόγως με το hardware),
- SNR : το όριο SNR του συγκεκριμένου SF .

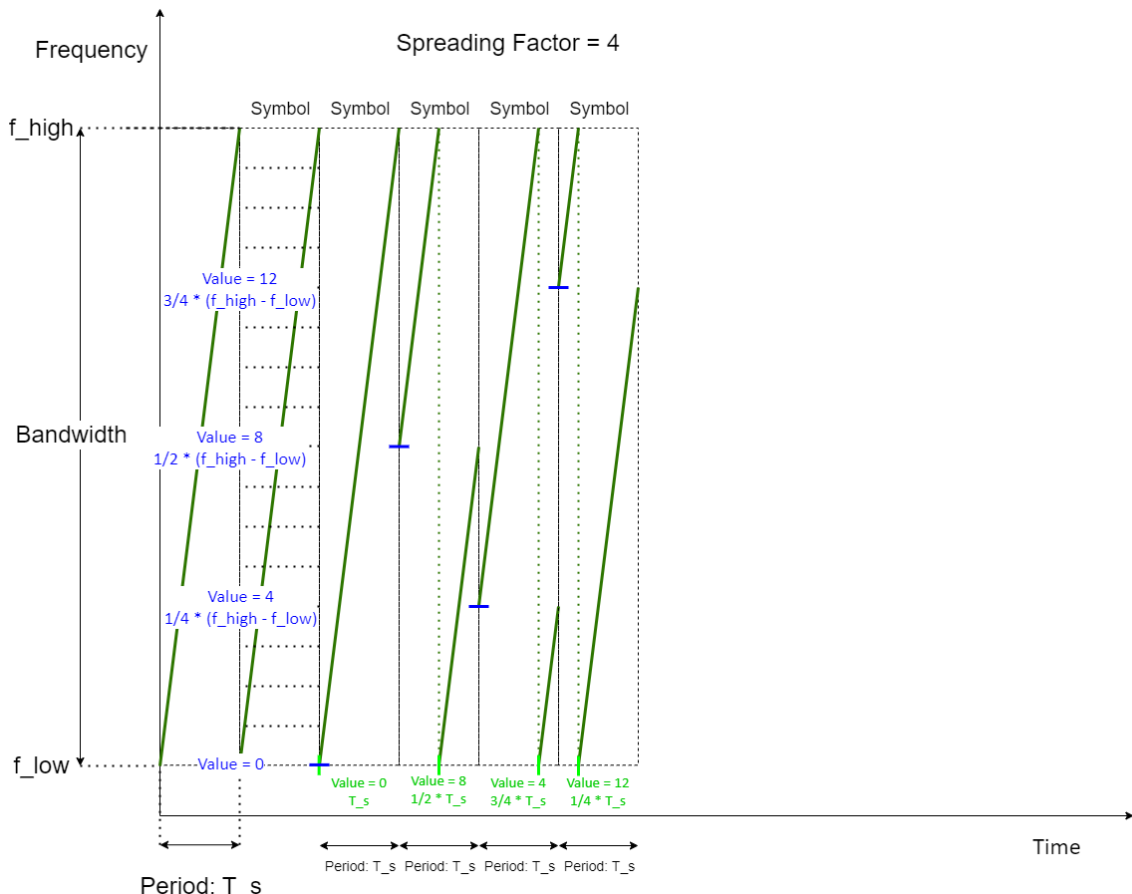
Ο Πίνακας 2.3 παρουσιάζει τα όρια SNR και την αντίστοιχη ευαισθησία του δέκτη για διαφορετικούς παράγοντες εξάπλωσης, με τυπική $NF = 6dB$ και $BW = 125kHz$.

Spreading Factor	$SNR_{limit}(dB)$	$S_{(sensitivity)}(dBm)$
7	-7.5	-125
8	-10	-127
9	-12.5	-130
10	-15	-132
11	-17.5	-135
12	-20	-137

Πίνακας 2.3: Όρια SNR και ευαισθησία δέκτη για διαφορετικά Spreading Factors, με $BW = 125kHz$ και $NF = 6dB$.

Από τον παραπάνω πίνακα, φαίνεται ότι η αύξηση του SF βελτιώνει σημαντικά την ευαισθησία, επιτρέποντας την ανίχνευση σημάτων σε χαμηλότερα επίπεδα ισχύος, κάτι που είναι καθοριστικό για τη μεγιστοποίηση της εμβέλειας σε δίκτυα LoRaWAN.

2.3.5 Ρυθμός Συμβόλων, Chips, Bitrate και Εξισώσεις



Εικόνα 2.8: Απεικόνιση κυματομορφών Chirp Spread Spectrum στο LoRa για Spreading Factor 4, με ένδειξη των διακριτών τιμών (0, 4, 8, 12) στην αντίστοιχη χρονική θέση μέσα στο σύμβολο T_s . Τα μπλε σημάδια δείχνουν το κλάσμα της περιόδου συμβόλου στο οποίο εκπέμπεται κάθε τιμή, ενώ η πράσινη σήμανση αντιστοιχεί στον αριθμό του chip.

[22]

Το μήκος του συμβόλου στη LoRa (η διάρκεια ενός chirp) εξαρτάται άμεσα από τον

παράγοντα εξάπλωσης και το εύρος ζώνης. Συγκεκριμένα, η χρονική διάρκεια T_s ενός συμβόλου ισούται με τον αριθμό των chips ανά σύμβολο διά το BW . Επειδή κάθε σύμβολο αποτελείται από 2^{SF} chips, προκύπτει:

$$T_s = \frac{2^{SF}}{BW}, \quad (2.8)$$

όπου BW το χρησιμοποιούμενο εύρος ζώνης (σε Hz) [14]. Για παράδειγμα, με $SF = 7$ και $BW = 125kHz$, έχουμε $T_s = 2^7/125000 \approx 1.024ms$, ενώ με $SF = 12$ (ίδιο BW) $T_s = 2^{12}/125000 \approx 32.768ms$ - δηλαδή 32 φορές μεγαλύτερο. Ο ρυθμός συμβόλων R_s (symbols per second) είναι απλά το αντίστροφο του T_s :

$$R_{sym} = \frac{1}{T_s} = \frac{BW}{2^{SF}}, \quad (2.9)$$

Όταν το SF αυξάνεται, ο ρυθμός συμβόλων μειώνεται εκθετικά (κάθε αύξηση SF κατά 1 $\Rightarrow R_s$ στο μισό). Η έννοια του chip αντιστοιχεί στο μικρότερο χρονικό βήμα εντός ενός συμβόλου - πρακτικά είναι το ελάχιστο διάστημα φάσης του chirp στο οποίο κωδικοποιείται πληροφορία. Με 2^{SF} chips ανά σύμβολο και $R_s = BW/2^{SF}$, μπορούμε να δούμε ότι ο ρυθμός chips R_c ισούται με:

$$R_c = R_s \cdot 2^{SF} = BW, \quad (2.10)$$

Το αποτέλεσμα αυτό σημαίνει ότι ανεξάρτητα από τον SF , το μοδεμ παράγει τον ίδιο αριθμό chips ανά δευτερόλεπτο ίσο με το εύρος ζώνης. Για παράδειγμα, σε $BW = 125kHz$, εκπέμπονται $125000chips/s$ (δηλ. κάθε chip έχει διάρκεια $8 \mu s$), ενώ σε $BW = 500kHz$ εκπέμπονται $500000chips/s$, ανεξάρτητα από το SF . Αυτή η ιδιότητα συνάδει με τον ορισμό που δίνεται στα φυλλάδια της Semtech: «ένα chip εκπέμπεται ανά Hz ανά δευτερόλεπτο» [14].

Εφόσον κάθε σύμβολο αντιστοιχεί σε SF bits (πριν την προσθήκη κώδικα διόρθωσης), μπορούμε να εκφράσουμε τον ακαθάριστο ρυθμό bit της διαμόρφωσης LoRa. Χωρίς χρήση FEC, κάθε σύμβολο φέρει SF bits πληροφορίας και μεταδίδεται σε χρόνο T_s , άρα ο ρυθμός bit θα ήταν $R_b = SF \cdot R_s = SF \cdot \frac{BW}{2^{SF}}$. Στην LoRa όμως εφαρμόζεται επιπρόσθετα ένας κώδικας forward error correction (FEC) τύπου Hamming, που εισάγει πλεονάζοντα bits για διόρθωση λαθών. Ο βαθμός κωδικοποίησης εκφράζεται με λόγο $4/(4+CR)$, όπου CR είναι ένας ακέραιος 1-4 (π.χ. $CR = 1$ αντιστοιχεί σε code rate $4/5$, $CR = 4$ σε $4/8$ κ.ο.κ.). Ο καθαρός ρυθμός bit (ονομαστικός, net bit rate) λαμβάνοντας υπόψη την πλεονάζουσα κωδικοποίηση, δίνεται από την εξίσωση:

$$R_b = SF \cdot \frac{4}{4+CR} \cdot \frac{BW}{2^{SF}}, \quad (2.11)$$

όπου τα SF και CR ορίζονται όπως παραπάνω [14]. Μπορούμε να ορίσουμε για ευκολία έναν παράγοντα $RateCode = \frac{4}{4+CR}$ (π.χ. $RateCode = 0.8$ για $CR = 1$, ή 0.5 για $CR = 4$). Τότε η σχέση γίνεται:

$$R_b = SF \cdot RateCode \cdot \frac{BW}{2^{SF}}. \quad (2.12)$$

Από τις παραπάνω σχέσεις προκύπτει ότι για δεδομένο BW και CR , η αύξηση του SF

μειώνει τον R_b εκθετικά. Για παράδειγμα, με $SF = 7$, $BW = 125 \text{ kHz}$ και $CR = 1$ (κώδικας 4/5), ο καθαρός ρυθμός είναι:

$$R_b = 7 \cdot \frac{4}{5} \cdot \frac{125000}{128} \approx 5470 \text{ bit/s}. \quad (2.13)$$

δηλαδή περίπου 5.47 kbps (συμφωνεί με τιμές σε βιβλιογραφία, π.χ. 5.5 kbps [23]). Με τις ίδιες παραμέτρους αλλά $SF = 12$, ο ρυθμός μειώνεται δραστικά:

$$R_b = 7 \cdot \frac{4}{5} \cdot \frac{125000}{4096} \approx 293 \text{ bit/s}. \quad (2.14)$$

δηλαδή μόλις 0.293 kbps . Αν χρησιμοποιηθεί ο μέγιστος πλεονασμός ($CR = 4$, δηλ. 4/8), ο ρυθμός για $SF = 12$ πέφτει ακόμα χαμηλότερα, περίπου 183 bit/s . Αυτός είναι και ο ελάχιστος ρυθμός δεδομένων σε δίκτυο LoRa για ένα μόνο κανάλι 125 kHz . Αντιστρόφως, η χρήση μεγαλύτερου εύρους ζώνης αυξάνει γραμμικά τον ρυθμό: για $BW = 250 \text{ kHz}$ ο ρυθμός bit διπλασιάζεται (με σταθερά SF, CR), ενώ για $BW = 500 \text{ kHz}$ τετραπλασιάζεται, κ.ο.κ. [23].

Σε υψηλές τιμές SF , η μεγάλη διάρκεια συμβόλου μπορεί να καταστήσει τις επικοινωνίες πιο ευάλωτες σε αστάθεια του ταλαντωτή ή θόρυβο φάσης. Γι' αυτό, στα πρότυπα LoRaWAN συνιστάται η ενεργοποίηση μιας ρύθμισης Low Data Rate Optimization (συντομογραφία LDRO) για $SF \geq 11$ όταν $BW = 125 \text{ kHz}$ [23]. Αυτή η ρύθμιση πρακτικά μειώνει το effective data rate εισάγοντας μικρή καθυστέρηση στη διαμόρφωση (μείωση του ρυθμού symbols/-modulation), ώστε να βελτιωθεί η αξιοποιητικότητα του δέκτη. Στις εξισώσεις, η ενεργοποίηση του LDRO λαμβάνεται υπόψη ως $(SF - 2)$ στον παρονομαστή ορισμένων όρων (βλ. επόμενη ενότητα), δηλαδή θεωρητικά σαν να μειώνεται ο διαθέσιμος αριθμός bit ανά σύμβολο κατά 2 όταν το LDRO = 1.

Βελτιστοποιήσεις CSS για LoRa

Παρά τους σχετικά χαμηλούς ρυθμούς της καθιερωμένης διαμόρφωσης LoRa, πρόσφατες ερευνητικές προσπάθειες στοχεύουν στη βελτίωση της φασματικής αποδοτικότητάς της. Για παράδειγμα, έχει προταθεί ένα σχήμα διαμόρφωσης Slope-Shift Keying LoRa που προσθέτει, πέρα από το κανονικό up-chirp, τη χρήση ενός down-chirp και κυκλικών μετατοπίσεών του για τη μετάδοση επιπλέον πληροφορίας σε κάθε σύμβολο [;]. Με τον τρόπο αυτό αυξάνεται το αλφάριθμο συμβόλων και μπορεί να επιτευχθεί υψηλότερος ρυθμός bit στην ίδια ζώνη συχνοτήτων, παραμένοντας συμβατό με τους δέκτες (απαιτεί όμως νέους αλγόριθμους ανίχνευσης συμβόλων). Μια συναφής προσέγγιση αξιοποιεί τεχνική Index Modulation στα chirp σήματα – ενσωματώνοντας πληροφορία στην επιλογή συγκεκριμένων θέσεων συχνότητας – ώστε να βελτιώσει περαιτέρω τον ρυθμό χωρίς επιπλέον ισχύ ή εύρος ζώνης [;]. Επίσης, έχει παρουσιαστεί μια επέκταση CSS όπου χρησιμοποιούνται ορθογώνια chirps ταυτόχρονα στους τετραγωνικούς άξονες I και Q (δηλ. μετάδοση στο σύμπλοκο επίπεδο με διαμόρφωση IX) [;]. Αυτή η μέθοδος, γνωστή ως IQ-CSS, θεωρητικά διπλασιάζει τον ρυθμό bit για το ίδιο BW και SF (καθώς μεταφέρονται διαφορετικά bits στο I και στο Q κανάλι ανά σύμβολο) [;]. Όλες αυτές οι τεχνικές βρίσκονται υπό μελέτη και υπόσχονται σημαντική αύξηση της απόδοσης των LoRa συστημάτων, διατηρώντας παράλληλα τα πλεονεκτήματα μεγάλης εμβέλειας της

CSS διαμόρφωσης.

2.3.6 OLD: Chirp Spread Spectrum και η υλοποίησή του στη LoRa

Η τεχνολογία LoRa χρησιμοποιεί μια ιδιόκτητη τεχνική διαμόρφωσης ευρέως φάσματος γνωστή ως Chirp Spread Spectrum (CSS) [14]. Σε αυτήν τη διαμόρφωση, το αρχικό σήμα διαμορφώνεται μέσω παλμών με γραμμικά μεταβαλλόμενη συχνότητα, που ονομάζονται chirps. Ένα chirp είναι ουσιαστικά ένα σήμα του οποίου η συχνότητα μεταβάλλεται γραμμικά με τον χρόνο μέσα σε ένα καθορισμένο εύρος ζώνης. Ένα chirp αυξανόμενης συχνότητας ονομάζεται up-chirp, ενώ μειούμενης συχνότητας down-chirp.

Κάθε σύμβολο στη διαμόρφωση LoRa CSS μεταδίδεται ως ένα chirp, που καλύπτει όλο το εύρος ζώνης (π.χ., 125kHz). Η πληροφορία κωδικοποιείται ως κυκλική μετατόπιση στη φάση ή τη συχνότητα εκκίνησης του chirp. Συγκεκριμένα, η τιμή του κάθε ψηφιακού συμβόλου καθορίζει το σημείο στο οποίο ξεκινά το chirp μέσα στο διαθέσιμο φάσμα [21].

Ορίζεται ο παράγοντας εξάπλωσης (Spreading Factor, SF), που καθορίζει τον αριθμό των chips ανά σύμβολο ως $N = 2^{SF}$. Ένα chip αποτελεί τη μικρότερη χρονική μεταβολή της συχνότητας εντός του εύρους ζώνης. Ετσι, κάθε σύμβολο αποτελείται από 2^{SF} chips, κωδικοποιώντας συνολικά SF βίτς πληροφορίας.

Η διάρκεια του συμβόλου (T_{sym}) εξαρτάται από το εύρος ζώνης (BW) και το SF ως εξής:

$$T_{sym} = \frac{2^{SF}}{BW}, \quad (2.15)$$

όπου T_{sym} μετράται σε δευτερόλεπτα. Συνεπώς, η διάρκεια συμβόλου αυξάνεται εκθετικά με το SF και μειώνεται αντιστρόφως ανάλογα με το BW. Ο ρυθμός συμβόλων (R_{sym}) ορίζεται ως:

$$R_{sym} = \frac{BW}{2^{SF}}, \quad (2.16)$$

ενώ ο αντίστοιχος ρυθμός μετάδοσης βιτ (R_b) υπολογίζεται από τη σχέση:

$$R_b = SF \cdot \frac{BW}{2^{SF}}. \quad (2.17)$$

Στην πράξη, το LoRa εφαρμόζει επίσης διορθωτική κωδικοποίηση (Forward Error Correction, FEC) με λόγο κωδικοποίησης που μειώνει τον καθαρό ρυθμό μετάδοσης:

$$R_b^{(net)} = r_c \cdot R_b, \quad (2.18)$$

όπου r_c είναι ο λόγος κωδικοποίησης (π.χ., 4/5, 4/6, κλπ.).

Ο ρυθμός chips (R_c) ισούται με το εύρος ζώνης:

$$R_c = BW, \quad (2.19)$$

και κάθε chip έχει διάρκεια:

$$T_{chip} = \frac{1}{BW}. \quad (2.20)$$

Η διαμόρφωση CSS παρέχει σημαντικό κέρδος διασποράς (G_{sp}), το οποίο εκφράζεται ως:

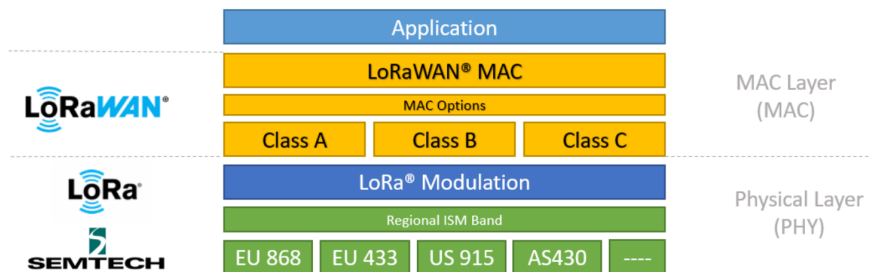
$$G_{sp} \approx 10 \log_{10}(2^{SF}), (dB). \quad (2.21)$$

Το κέρδος αυτό επιτρέπει στο LoRa να επιτύχει αξιόπιστη επικοινωνία με αρνητικούς λόγους σήματος προς θόρυβο (SNR), αυξάνοντας σημαντικά την εμβέλεια και την ανθεκτικότητα στις παρεμβολές και στο φαινόμενο Doppler.

Η μετάδοση δεδομένων ξεκινά με ένα προοίμιο (preamble) από διαδοχικά up-chirps, ακολουθούμενο από ειδικά down-chirps που βοηθούν στον συγχρονισμό. Ακολουθούν τα σύμβολα δεδομένων, καθένα εκ των οποίων κωδικοποιείται μέσω διαφορετικών κυκλικών μετατοπίσεων, προσφέροντας ανθεκτικότητα σε θόρυβο και παρεμβολές και επιτρέποντας αξιόπιστη επικοινωνία ακόμα και σε κινητές εφαρμογές.

2.4 Το Πρωτόκολλο LoRaWAN

To LoRaWAN (Long Range Wide Area Network), αποτελεί ένα πρωτόκολλο επικοινωνίας επιπέδου MAC (Media Access Control), σχεδιασμένο για να επεκτείνει τη φυσική διαστρωμάτωση της τεχνολογίας LoRa, επιτρέποντας την αξιόπιστη και ασφαλή μετάδοση δεδομένων σε δίκτυα ευρείας περιοχής με χαμηλή κατανάλωση ενέργειας [7].



Εικόνα 2.9: Τεχνολογική στοιχία των LoRa και LoRaWAN.

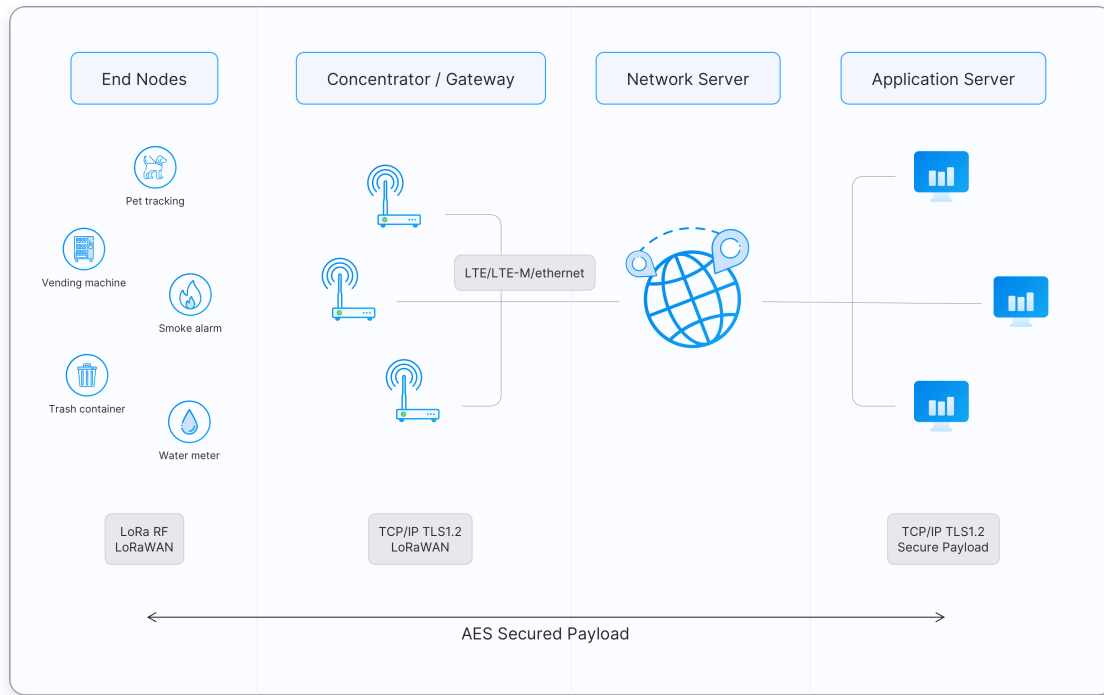
[7]

Το πρωτόκολλο αναπτύχθηκε και διαχειρίζεται από τον οργανισμό LoRa Alliance, ο οποίος προωθεί τη συμβατότητα και την τυποποίηση μεταξύ κατασκευαστών. Το LoRaWAN καθορίζει τη δικτυακή αρχιτεκτονική, τα επίπεδα ασφαλείας, και τους τρόπους πρόσθασης στο δίκτυο. Η αρχιτεκτονική του LoRaWAN βασίζεται σε μια τοπολογία τύπου αστέρα-από-αστέρες (star-of-stars), η οποία περιλαμβάνει τα εξής βασικά στοιχεία [13]:

- Τερματικές Συσκευές (End Devices):** Αισθητήρες ή ενεργοποιητές που συλλέγουν δεδομένα και τα αποστέλλουν μέσω του πρωτοκόλλου LoRa.
- Πύλες (Gateways):** Δέχονται τα ασύρματα σήματα από τις τερματικές συσκευές και τα προωθούν στον Διακομιστή Δικτύου (Network Server) μέσω ενσύρματων ή ασύρματων συνδέσεων, όπως Ethernet, Wi-Fi ή κινητά δίκτυα.
- Διακομιστής Δικτύου (Network Server):** Διαχειρίζεται τη ροή των δεδομένων, εξαλείφει τα διπλότυπα μηνύματα, εφαρμόζει πολιτικές ασφαλείας και προωθεί τα δεδομένα

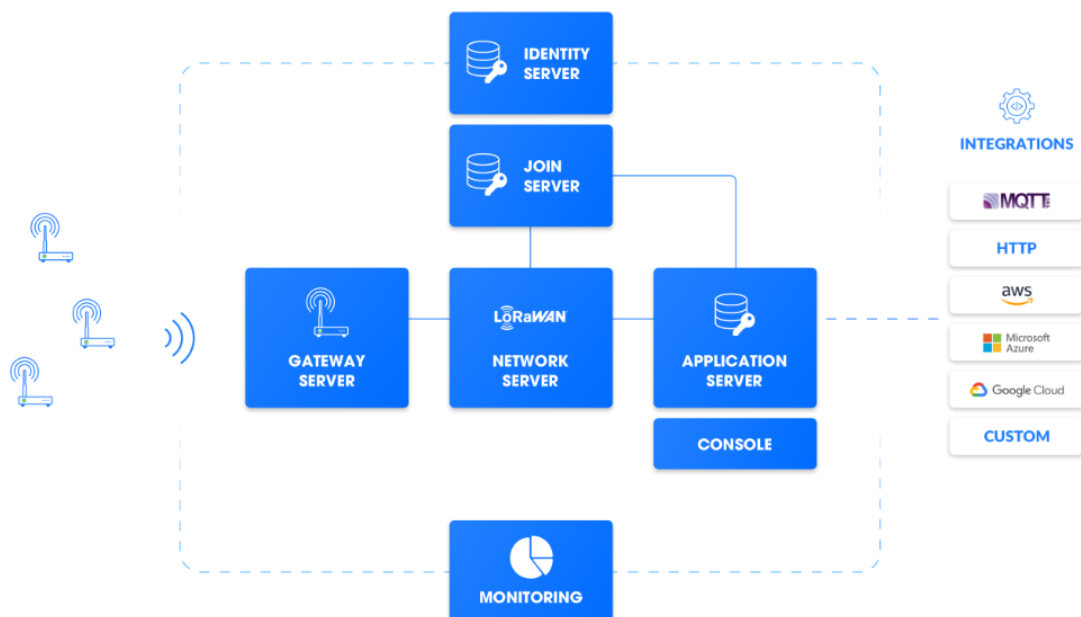
στους Διακομιστές Εφαρμογών (Application Servers).

- **Διακομιστής Εφαρμογών (Application Server):** Επεξεργάζεται τα δεδομένα σύμφωνα με τις ανάγκες της εκάστοτε εφαρμογής.



Εικόνα 2.10: Τυπική αρχιτεκτονική LoRaWAN δικτύου.

[13]



Εικόνα 2.11: Αρχιτεκτονική LoRaWAN Network Server.

[25]

2.5 Ηλεκτρικοί Υποσταθμοί και Ανάγκες Εποπτείας

Οι ηλεκτρικοί υποσταθμοί αποτελούν κρίσιμα σημεία του ηλεκτρικού συστήματος μεταφοράς και διανομής ενέργειας. Ο ρόλος τους είναι η μετατροπή της τάσης από υψηλά επίπεδα μεταφοράς σε χαμηλότερα επίπεδα που είναι κατάλληλα για διανομή και τελική κατανάλωση. Οι υποσταθμοί μπορούν να είναι είτε πρωτεύοντες (μεταφοράς), είτε δευτερεύοντες (διανομής).

Η εποπτεία και διαχείριση των υποσταθμών περιλαμβάνει:

- παρακολούθηση ηλεκτρικών παραμέτρων όπως ρεύμα, τάση, ισχύς και συχνότητα ανά φάση,
- ανίχνευση βλαβών ή ανομαλιών (π.χ. υπερφόρτιση, βυθίσεις τάσης),
- έλεγχο λειτουργικών μονάδων όπως διακόπτες ισχύος και προστατευτικά ρελέ,
- λήψη αποφάσεων σε πραγματικό χρόνο για την εξασφάλιση της αδιάλειπτης παροχής και της ασφάλειας του εξοπλισμού.

Παραδοσιακά, τέτοια εποπτεία γινόταν με ενσύρματες ή SCADA λύσεις υψηλού κόστους. Η ενσωμάτωση τεχνολογιών όπως το LoRaWAN επιτρέπει τη δημιουργία αποκεντρωμένων, χαμηλού κόστους και επεκτάσιμων λύσεων, κατάλληλων ακόμη και για μικρούς ή απομακρυσμένους υποσταθμούς.

2.6 Συμπεράσματα

Οι τεχνολογίες LPWAN και ιδιαίτερα το LoRaWAN παρέχουν μια αποτελεσματική λύση για τηλεμετρικές εφαρμογές σε περιβάλλοντα όπου απαιτείται χαμηλή κατανάλωση ισχύος και μεγάλη απόσταση μετάδοσης. Το θεωρητικό αυτό υπόβαθρο θεμελιώνει την επιλογή του LoRaWAN ως βασική τεχνολογία επικοινωνίας στο σύστημα παρακολούθησης και ελέγχου υποσταθμού που αναπτύχθηκε στο πλαίσιο της παρούσας διπλωματικής εργασίας.

Περιγραφή θέματος

Στο κεφάλαιο αυτό αρχικά γίνεται μια περιγραφή των συστημάτων ομότιμων κόμβων που είναι βασισμένα σε σχήματα (schema-based peer-to-peer systems). Στη συνέχεια περιγράφονται τρία βασικά συστήματα που ανήκουν σε αυτή την κατηγορία, καθώς και ένα σύστημα για τη διαχείρηση RDF σχημάτων, και τέλος αναλύεται ο στόχος της παρούσας εργασίας.

3.1 Σχετικές εργασίες

Οι βάσεις δεδομένων εισήγαγαν ένα τρόπο αποθήκευσης και ανάκτησης των δεδομένων που βασιζόταν στο σχήμα [26]. Τα πρώτα συστήματα ομότιμων κόμβων που περιγράψαμε στην Υποενότητα 2.1.2 έδιναν μεγάλη σημασία στην αρχιτεκτονική του συστήματος και την δρομολόγηση των ερωτήσεων και λιγότερη στον τρόπο αναπαράστασης και τις δυνατότητες αναζήτησης. Η αναζήτηση σε αυτά τα συστήματα ομότιμων κόμβων γίνεται με βάση προκαθορισμένα χαρακτηριστικά - δείκτες, ή με προσπάθεια αντιστοίχισης μιας λέξης κλειδί.

Η ανάγκη λοιπόν για πιο εκφραστικές λειτουργίες οδήγησε στα συστήματα ομότιμων κόμβων τα οποία είναι βασισμένα σε σχήματα (schema based peer-to-peer systems). Πρόκειται για ομότιμες υποδομές διαχείρισης δεδομένων που όμως διατηρούν όλα τα χαρακτηριστικά των συστημάτων ομότιμων κόμβων.

Μέρος II

Πρακτικό Μέρος

Κεφάλαιο 4

Ανάλυση και σχεδίαση

Στο κεφάλαιο αυτό παρουσιάζεται η μελέτη που έγινε για την υλοποίηση του συστήματος. Αρχικά περιγράφεται η αρχιτεκτονική του συστήματος και γίνεται ο διαχωρισμός του στα επιμέρους υποσυστήματα, ενώ στη συνέχεια περιγράφονται οι εφαρμογές του συστήματος.

4.1 Ανάλυση - περιγραφή αρχιτεκτονικής

Στην ενότητα αυτή παρουσιάζεται η ανάλυση του συστήματος και ο χωρισμός του σε υποσυστήματα όσον αφορά την αρχιτεκτονική.

4.1.1 Διαχωρισμός υποσυστημάτων

Το σύστημα αποτελείται από τους απλούς κόμβους και ένα κόμβο διαχειριστή. Στο σημείο αυτό αναλύουμε το σύστημα ενός απλού κόμβου, το οποίο αποτελείται από τα εξής υποσυστήματα:

- Υποσύστημα δημιουργίας σχήματος.
- Υποσύστημα ενσωμάτωσης δεδομένων στο σχήμα.
- Υποσύστημα επικοινωνίας κόμβου.

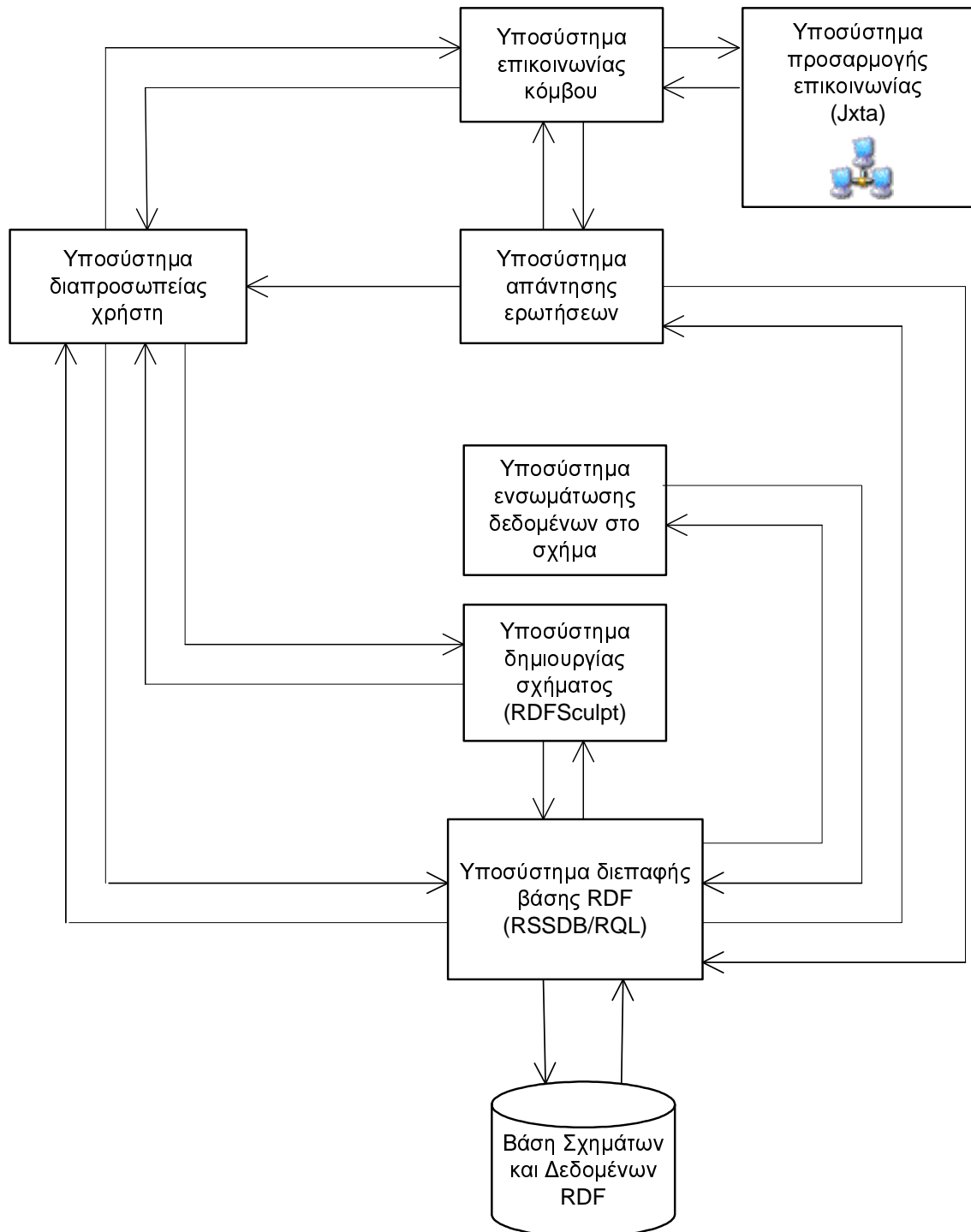
Το Σχήμα 4.1 απεικονίζει

4.1.2 Περιγραφή υποσυστημάτων

Παρακάτω δίνεται λεπτομερής περιγραφή για καθένα από τα συστήματα που αναφέραμε. Η περιγραφή αυτή γίνεται με βάση τα διαγράμματα ροής δεδομένων.

Υποσύστημα δημιουργίας σχήματος

Το υποσύστημα αυτό



Σχήμα 4.1: Αρχιτεκτονική Απλού Κόμβου

Κεφάλαιο 5

Υλοποίηση

Στο κεφάλαιο αυτό περιγράφεται η υλοποίηση του συστήματος, με βάση τη μελέτη που παρουσιάστηκε στο προηγούμενο κεφάλαιο. Αρχικά παρουσιάζεται η πλατφόρμα και τα προγραμματιστικά εργαλεία που χρησιμοποιήθηκαν. Στη συνέχεια δίνονται οι λεπτομέρειες υλοποίησης για τους βασικούς αλγόριθμους του συστήματος καθώς και η δομή του κώδικα.

5.1 Λεπτομέρειες υλοποίησης

Στην ενότητα αυτή παρουσιάζονται οι βασικοί αλγόριθμοι που αναπτύχθηκαν καθώς και λεπτομέρειες σχετικά με την υλοποίηση της επικοινωνίας των κόμβων.

5.1.1 Αλγόριθμοι

Αλγόριθμος εισαγωγής δεδομένων

Όταν ένας κόμβος εισέρχεται για πρώτη φορά στο σύστημα, αρχικά δημιουργεί το σχήμα που θέλει χρησιμοποιώντας το RDFSculpt. Στη συνέχεια.....

Παράδειγμα

Έστω ότι ο κόμβος έχει επιλέξει να συμμετέχει στο σύστημα με το RDF σχήμα που φαίνεται στο Σχήμα. Έστω επίσης ότι από το SQL ερώτημα που έχει κάνει στη σχεσιακή βάση, έχει προκύψει η όψη που φαίνεται στον Πίνακα. Για τις ανάγκες του παραδείγματος θεωρούμε ότι η όψη αυτή περιέχει μόνο μία εγγραφή.

.....

5.2 Περιγραφή κλάσεων

Στην ενότητα αυτή δίνεται μια σύντομη περιγραφή των κλάσεων, των πεδίων και των μεθόδων που τις απαρτίζουν.

5.2.1 public class FirstUi

Η κλάση αυτή κατασκευάζει την οθόνη εισαγωγής του χρήστη στο σύστημα.

Πεδία

- `private GridBagConstraints con`
To layout για όλα τα Panel.
- `private GridBagConstraints con`
Ta constraints για το layout.
- `private Icon arrowR`
Εικονίδιο για το κουμπί Next.

Μέθοδοι

- `public FirstUi()`
Ο κατασκευαστής της κλάσης ο οποίος καλεί την `createEntryFrame()`.
- `private void createEntryFrame()`
Μέθοδος που κατασκευάζει το ενφραμε.

Έλεγχος

Σ το κεφάλαιο αυτό γίνεται ο έλεγχος καλής λειτουργίας του συστήματος.

6.1 Μεθοδολογία Ελέγχου

Ο έλεγχος του συστήματος αυτού πραγματοποιήθηκε με τη χρήση ενός σεναρίου λειτουργίας. Σύμφωνα με το σενάριο αυτό θεωρούμε ότι στο σύστημα υπάρχουν τρεις κόμβοι (peer1, peer2, peer3). Θεωρούμε επίσης ότι οι κόμβοι peer2 και peer3 έχουν ήδη σχήμα και δεδομένα. Το σχήμα του peer2 φαίνεται στο Σχήμα.

Επίσης η τοπολογία του συστήματος έχει ως εξής: ο peer2 είναι γείτονας του peer1 και ο peer3 γείτονας του peer2.

Αρχικά λοιπόν θα δημιουργήσουμε σχήμα για τον κόμβο peer1 και στη συνέχεια θα εισάγουμε σε αυτό δεδομένα εξετάζοντας έτσι την καλή λειτουργία του υποσυστήματος δημιουργίας σχήματος και του υποσυστήματος εισαγωγής δεδομένων. Στη συνέχεια από τον κόμβο αυτό στέλνουμε ερωτήσεις στους υπόλοιπους για τον έλεγχο του υποσυστήματος απάντησης ερωτήσεων και επικοινωνίας κόμβων.

6.2 Αναλυτική παρουσίαση ελέγχου

Στην ενότητα αυτή παρουσιάζουμε αναλυτικά τον έλεγχο του συστήματος σύμφωνα με το σενάριο που περιγράφηκε στην προηγούμενη ενότητα.

Παράδειγμα Πίνακα

7.1 Συμπεράσματα

Τα συστήματα οιμότιμων κόμβων, προκειμένου να υποστηρίζουν πιο εκφραστικές λειτουργίες αναπαράστασης και αναζήτησης δεδομένων, εξελίχθηκαν στα συστήματα οιμότιμων κόμβων τα οποία βασίζονται στις τεχνολογίες του Σημασιολογικού Ιστού για την αναπαράσταση των δεδομένων μέσω σχημάτων που τα περιγράφουν (Schema-based peer-to-peer systems).

Συμπερασματικά το σύστημα που αναπτύχθηκε στα πλαίσια αυτής της διπλωματικής είναι ένα πλήρες σύστημα οιμότιμων κόμβων βασισμένο σε σχήματα, το οποίο καθιστά δυνατή την αναζήτηση της πληροφορίας με ένα διαφορετικό τρόπο απ' ότι τα προϋπάρχοντα συστήματα.

7.2 Μελλοντικές Επεκτάσεις

Το σύστημα που αναπτύχθηκε στα πλαίσια αυτής της διπλωματικής εργασίας θα μπορούσε να βελτιωθεί και να επεκταθεί περαιτέρω, τουλάχιστον ως προς τρεις κατευθύνσεις. Συγκεκριμένα, αναφέρονται τα ακόλουθα :

- Ενσωμάτωση διαδικασίας επιλογής σχήματος με βάση το οποίο ο κόμβος θα συμμετέχει στο σύστημα. Έτσι όπως έχει σχεδιαστεί το σύστημα, κάθε κόμβος έχει τη δυνατότητα να δημιουργήσει πολλά σχήματα και να αποθηκεύσει δεδομένα σε περισσότερα από ένα. Ως σχήμα του κόμβου (με βάση το οποίο απαντάει τις ερωτήσεις), θεωρείται το τελευταίο στο οποίο αποθήκευσε δεδομένα. Η δυνατότητα επιλογής θα του παρείχε περισσότερη ευελιξία.
- Δυνατότητα αντιστοίχισης δεδομένων τα οποία να μην είναι αποθηκευμένα σε βάση δεδομένων αλλά σε αρχεία. Η αποδέσμευση από τη βάση δεδομένων θα έκανε το σύστημα πιο εύκολο στην εγκατάσταση και τη χρήση.
- Αξιολόγηση του συστήματος ως προς τη συμπεριφορά του αν συμμετέχει σε αυτό μεγάλος αριθμός κόμβων (scalability testing) και αν χρησιμοποιηθεί ένα πολύ μεγάλο καθολικό σχήμα. Η αξιολόγηση αυτή αφορά την ταχύτητα με την οποία ένας κόμβος παίρνει απαντήσεις σε μια ερώτηση καθώς και την ποιότητα των απαντήσεων.

Πίνακας 7.1: Πίνακας αληθειας της λογικής συνάρτησης F

A	B	C	F
0	0	0	0
0	0	1	0
0	1	0	1
0	1	1	0
1	0	0	1
1	0	1	0
1	1	0	1
1	1	1	0

Παράδειγμα Μαθηματικών Σχέσεων – Εκφράσεων και Αλγορίθμων

8.1 Συμπεράσματα

Τα συστήματα ομότιμων κόμβων, προκειμένου να υποστηρίζουν πιο εκφραστικές λειτουργίες αναπαράστασης και αναζήτησης δεδομένων, εξελίχθηκαν στα συστήματα ομότιμων κόμβων τα οποία βασίζονται στις τεχνολογίες του Σημασιολογικού Ιστού για την αναπαράσταση των δεδομένων μέσω σχημάτων που τα περιγράφουν (Schema-based peer-to-peer systems).

Στα συστήματα αυτά κάθε $y = \int_0^1 f(x)dx$ $y = \int_0^1 f(x)dx$ κόμβος χρησιμοποιεί ένα σχήμα για την $\sum_{i=0}^{100} a_i$ αναπαράσταση των δεδομένων του. Όμως σε ένα σύστημα ομότιμων κόμβων, κάθε κόμβος έχει διαφορετικές απαιτήσεις αναπαράστασης δεδομένων. Επομένως πρέπει να υπάρχει ευελιξία στην επιλογή $\frac{1}{1+x^2}$ σχήματος. Τα συστήματα που έχουν προταθεί μέχρι τώρα και παρέχουν αυτή την ευελιξία, για να είναι δυνατή η αναζήτηση πληροφορίας, απαιτούν την ύπαρξη κανόνων αντιστοίχισης μεταξύ των σχημάτων με βάση τους οποίους να μετασχηματίζονται οι ερωτήσεις. Όμως δεν υποστηρίζεται ακόμα αυτόματη δημιουργία και δυναμική ανανέωση των κανόνων, που είναι απαραίτητα για τα συστήματα ομότιμων κόμβων.

$$y = \int_0^1 f(x)dx \quad (8.1)$$

Η συνεισφορά της (8.1) παρούσας διπλωματικής εργασίας έχει δύο σκέλη. Το πρώτο αφορά τη δημιουργία ενός πλήρους συστήματος ομότιμων κόμβων βασισμένο σε σχήματα RDF το οποίο παρέχει: (α) την υποδομή για την επικοινωνία των κόμβων, (β) μηχανισμό δημιουργίας σχήματος, (γ) μηχανισμό ενσωμάτωσης σχεσιακών δεδομένων στο σχήμα με τη χρήση αντιστοίχισεων που δημιουργεί ο χρήστης με τη βοήθεια ειδικής διαπροσωπείας, (δ) ευέλικτη διαπροσωπεία χρήστη για τη διατύπωση ερωτημάτων και (ε) μηχανισμό απάντησης και επεξεργασίας ερωτήσεων.

Το δεύτερο σκέλος αφορά το γεγονός ότι το συγκεκριμένο σύστημα προσφέρει μια σχετική ευελιξία ως προς την επιλογή του σχήματος από τον κάθε κόμβο, ενώ ταυτόχρονα δίνει τη δυνατότητα μετασχηματισμού ερωτήσεων χωρίς τη χρήση κανόνων αντιστοίχισης. Συγκεκριμένα, τα σχήματα των κόμβων αποτελούν υποσύνολα-όψεις (views) ενός βασικού σχήματος

ΑΛΓΟΡΙΘΜΟΣ 8.1: Μετατροπή δεκαδικού αριθμού σε δυαδικό, με τη μέθοδο των διαδοχικών διαιρέσεων με το 2

Είσοδος: $X_{(10)}$ (ο δεκαδικός αριθμός προς μετατροπή)

Έξοδος: $X_{(2)}$ (η δυαδική αναπαράσταση του X)

Θέσε $\Delta = X_{(10)}$ (Δ = διαιρετέος)

Θέσε $\Pi = 1$ (Π = πηλίκο)

Θέσε $X_{(2)} = \text{""}$ ("" ο κενός χαρακτήρας)

while $\Pi \neq 0$ **do**

Διαίρεσε το Δ με το 2 και βρες το πηλίκο Π , και το υπόλοιπο u .

$X_{(2)} = u + X_{(2)}$ (Τοποθέτησε το υπόλοιπο u στα αριστερά του $X_{(2)}$)

Θέσε $\Delta = \Pi$ (Το πηλίκο Π τίθεται ως διαιρετέος για την επόμενη διαίρεση)

end while

που ονομάζεται καθολικό σχήμα. Εκμεταλλευόμενοι λοιπόν το γεγονός ότι τα σχήματα αυτά είναι συμβατά μεταξύ τους, έχουμε τη δυνατότητα ελέγχου της ικανοποιησιμότητας μιας ερώτησης και μετατροπής της όπου χρειάζεται, χρησιμοποιώντας τόσο το σχήμα του κόμβου όσο και το καθολικό σχήμα.

Συμπερασματικά το σύστημα που αναπτύχθηκε στα πλαίσια αυτής της διπλωματικής είναι ένα πλήρες σύστημα ομότιμων κόμβων βασισμένο σε σχήματα, το οποίο καθιστά δυνατή την αναζήτηση της πληροφορίας με ένα διαφορετικό τρόπο απ' ότι τα προϋπάρχοντα συστήματα.

8.2 Μελλοντικές Επεκτάσεις

Το σύστημα που αναπτύχθηκε στα πλαίσια αυτής της διπλωματικής εργασίας θα μπορούσε να βελτιωθεί και να επεκταθεί περαιτέρω, τουλάχιστον ως προς τρεις κατευθύνσεις. Συγκεκριμένα, αναφέρονται τα ακόλουθα :

- Ενσωμάτωση διαδικασίας επιλογής σχήματος με βάση το οποίο ο κόμβος θα συμμετέχει στο σύστημα. Ετσι όπως έχει σχεδιαστεί το σύστημα, κάθε κόμβος έχει τη δυνατότητα να δημιουργήσει πολλά σχήματα και να αποθηκεύσει δεδομένα σε περισσότερα από ένα. Ως σχήμα του κόμβου (με βάση το οποίο απαντάει τις ερωτήσεις), θεωρείται το τελευταίο στο οποίο αποθήκευσε δεδομένα. Η δυνατότητα επιλογής θα του παρείχε περισσότερη ευελιξία.
- Δυνατότητα αντιστοίχισης δεδομένων τα οποία να μην είναι αποθηκευμένα σε βάση δεδομένων αλλά σε αρχεία. Η αποδέσμευση από τη βάση δεδομένων θα έκανε το σύστημα πιο εύκολο στην εγκατάσταση και τη χρήση.
- Αξιολόγηση του συστήματος ως προς τη συμπεριφορά του αν συμμετέχει σε αυτό μεγάλος αριθμός κόμβων (scalability testing) και αν χρησιμοποιηθεί ένα πολύ μεγάλο καθολικό σχήμα. Η αξιολόγηση αυτή αφορά την ταχύτητα με την οποία ένας κόμβος παίρνει απαντήσεις σε μια ερώτηση καθώς και την ποιότητα των απαντήσεων.

ΑΛΓΟΡΙΘΜΟΣ 8.2: *Κάποιος αλγόριθμος ...*

```
#include <stdio.h>
#define N 10
/* Block
 * comment */

int main()
{
    int i;

    // Line comment.
    puts("Hello world!");

    for (i = 0; i < N; i++)
    {
        puts("LaTeX is also great for programmers!");
    }

    return 0;
}
```

Μέρος **III**

Επίλογος

Επίλογος

9.1 Συμπεράσματα

Τα συστήματα ομότιμων κόμβων, προκειμένου να υποστηρίζουν πιο εκφραστικές λειτουργίες αναπαράστασης και αναζήτησης δεδομένων, εξελίχθηκαν στα συστήματα ομότιμων κόμβων τα οποία βασίζονται στις τεχνολογίες του Σημασιολογικού Ιστού για την αναπαράσταση των δεδομένων μέσω σχημάτων που τα περιγράφουν (Schema-based peer-to-peer systems).

Στα συστήματα αυτά κάθε κόμβος χρησιμοποιεί ένα σχήμα για την αναπαράσταση των δεδομένων του. Όμως σε ένα σύστημα ομότιμων κόμβων, κάθε κόμβος έχει διαφορετικές απαιτήσεις αναπαράστασης δεδομένων. Επομένως πρέπει να υπάρχει ευελιξία στην επιλογή σχήματος. Τα συστήματα που έχουν προταθεί μέχρι τώρα και παρέχουν αυτή την ευελιξία, για να είναι δυνατή η αναζήτηση πληροφορίας, απαιτούν την ύπαρξη κανόνων αντιστοίχισης μεταξύ των σχημάτων με βάση τους οποίους να μετασχηματίζονται οι ερωτήσεις. Όμως δεν υποστηρίζεται ακόμα αυτόματη δημιουργία και δυναμική ανανέωση των κανόνων, που είναι απαραίτητα για τα συστήματα ομότιμων κόμβων.

Η συνεισφορά της παρούσας διπλωματικής εργασίας έχει δύο σκέλη. Το πρώτο αφορά τη δημιουργία ενός πλήρους συστήματος ομότιμων κόμβων βασισμένο σε σχήματα RDF το οποίο παρέχει: (α) την υποδομή για την επικοινωνία των κόμβων, (β) μηχανισμό δημιουργίας σχήματος, (γ) μηχανισμό ενσωμάτωσης σχεσιακών δεδομένων στο σχήμα με τη χρήση αντιστοιχίσεων που δημιουργεί ο χρήστης με τη βοήθεια ειδικής διαπροσωπείας, (δ) ευέλικτη διαπροσωπεία χρήστη για τη διατύπωση ερωτημάτων και (ε) μηχανισμό απάντησης και επεξεργασίας ερωτήσεων.

Το δεύτερο σκέλος αφορά το γεγονός ότι το συγκεκριμένο σύστημα προσφέρει μια σχετική ευελιξία ως προς την επιλογή του σχήματος από τον κάθε κόμβο, ενώ ταυτόχρονα δίνει τη δυνατότητα μετασχηματισμού ερωτήσεων χωρίς τη χρήση κανόνων αντιστοίχισης. Συγκεκριμένα, τα σχήματα των κόμβων αποτελούν υποσύνολα-όψεις (views) ενός βασικού σχήματος που ονομάζεται καθολικό σχήμα. Εκμεταλλευόμενοι λοιπόν το γεγονός ότι τα σχήματα αυτά είναι συμβατά μεταξύ τους, έχουμε τη δυνατότητα ελέγχου της ικανοποιησιμότητας μιας ερωτησης και μετατροπής της όπου χρειάζεται, χρησιμοποιώντας τόσο το σχήμα του κόμβου όσο και το καθολικό σχήμα.

Συμπερασματικά το σύστημα που αναπτύχθηκε στα πλαίσια αυτής της διπλωματικής είναι ένα πλήρες σύστημα ομότιμων κόμβων βασισμένο σε σχήματα, το οποίο καθιστά δυ-

νατή την αναδρήτηση της πληροφορίας με ένα διαφορετικό τρόπο απ' ότι τα προϋπάρχοντα συστήματα.

9.2 Μελλοντικές Επεκτάσεις

Το σύστημα που αναπτύχθηκε στα πλαίσια αυτής της διπλωματικής εργασίας θα μπορούσε να βελτιωθεί και να επεκταθεί περαιτέρω, τουλάχιστον ως προς τρεις κατευθύνσεις. Συγκεκριμένα, αναφέρονται τα ακόλουθα:

- Ενσωμάτωση διαδικασίας επιλογής σχήματος με βάση το οποίο ο κόμβος θα συμμετέχει στο σύστημα. Έτσι όπως έχει σχεδιαστεί το σύστημα, κάθε κόμβος έχει τη δυνατότητα να δημιουργήσει πολλά σχήματα και να αποθηκεύσει δεδομένα σε περισσότερα από ένα. Ως σχήμα του κόμβου (με βάση το οποίο απαντάει τις ερωτήσεις), θεωρείται το τελευταίο στο οποίο αποθήκευσε δεδομένα. Η δυνατότητα επιλογής θα του παρείχε περισσότερη ευελιξία.
- Δυνατότητα αντιστοίχισης δεδομένων τα οποία να μην είναι αποθηκευμένα σε βάση δεδομένων αλλά σε αρχεία. Η αποδέσμευση από τη βάση δεδομένων θα έκανε το σύστημα πιο εύκολο στην εγκατάσταση και τη χρήση.
- Αξιολόγηση του συστήματος ως προς τη συμπεριφορά του αν συμμετέχει σε αυτό μεγάλος αριθμός κόμβων (scalability testing) και αν χρησιμοποιηθεί ένα πολύ μεγάλο καθολικό σχήμα. Η αξιολόγηση αυτή αφορά την ταχύτητα με την οποία ένας κόμβος παίρνει απαντήσεις σε μια ερώτηση καθώς και την ποιότητα των απαντήσεων.

Παρατήματα

Παράδειγμα Παραρτήματος

A'.1 Πρώτη ενότητα

Τα συστήματα οιμότιμων κόμβων, προκειμένου να υποστηρίζουν πιο εκφραστικές λειτουργίες αναπαράστασης και αναζήτησης δεδομένων, εξελίχθηκαν στα συστήματα οιμότιμων κόμβων τα οποία βασίζονται στις τεχνολογίες του Σημασιολογικού Ιστού για την αναπαράσταση των δεδομένων μέσω σχημάτων που τα περιγράφουν (Schema-based peer-to-peer systems).

Συμπερασματικά το σύστημα που αναπτύχθηκε στα πλαίσια αυτής της διπλωματικής είναι ένα πλήρες σύστημα οιμότιμων κόμβων βασισμένο σε σχήματα, το οποίο καθιστά δυνατή την αναζήτηση της πληροφορίας με ένα διαφορετικό τρόπο απ' ότι τα προϋπάρχοντα συστήματα.

A'.2 Μελλοντικές Επεκτάσεις

Το σύστημα που αναπτύχθηκε στα πλαίσια αυτής της διπλωματικής εργασίας θα μπορούσε να βελτιωθεί και να επεκταθεί περαιτέρω, τουλάχιστον ως προς τρεις κατευθύνσεις. Συγκεκριμένα, αναφέρονται τα ακόλουθα:

- Ενσωμάτωση διαδικασίας επιλογής σχήματος με βάση το οποίο ο κόμβος θα συμμετέχει στο σύστημα. Έτσι όπως έχει σχεδιαστεί το σύστημα, κάθε κόμβος έχει τη δυνατότητα να δημιουργήσει πολλά σχήματα και να αποθηκεύσει δεδομένα σε περισσότερα από ένα. Ως σχήμα του κόμβου (με βάση το οποίο απαντάει τις ερωτήσεις), θεωρείται το τελευταίο στο οποίο αποθήκευσε δεδομένα. Η δυνατότητα επιλογής θα του παρείχε περισσότερη ευελιξία.
- Δυνατότητα αντιστοίχισης δεδομένων τα οποία να μην είναι αποθηκευμένα σε βάση δεδομένων αλλά σε αρχεία. Η αποδέσμευση από τη βάση δεδομένων θα έκανε το σύστημα πιο εύκολο στην εγκατάσταση και τη χρήση.
- Αξιολόγηση του συστήματος ως προς τη συμπεριφορά του αν συμμετέχει σε αυτό μεγάλος αριθμός κόμβων (scalability testing) και αν χρησιμοποιηθεί ένα πολύ μεγάλο καθολικό σχήμα. Η αξιολόγηση αυτή αφορά την ταχύτητα με την οποία ένας κόμβος παίρνει απαντήσεις σε μια ερώτηση καθώς και την ποιότητα των απαντήσεων.

Πίνακας Α'.1: Πίνακας αληθειας της λογικής συνάρτησης F

A	B	C	F
0	0	0	0
0	0	1	0
0	1	0	1
0	1	1	0
1	0	0	1
1	0	1	0
1	1	0	1
1	1	1	0

Παράρτημα **B'**

Απόδειξη της σχέσης (8.1)

Στο κεφάλαιο αυτό παρουσιάζεται η μελέτη που έγινε για την υλοποίηση του συστήματος. Αρχικά περιγράφεται η αρχιτεκτονική του συστήματος και γίνεται ο διαχωρισμός του στα επιμέρους υποσυστήματα, ενώ στη συνέχεια περιγράφονται οι εφαρμογές του συστήματος. Ελένη

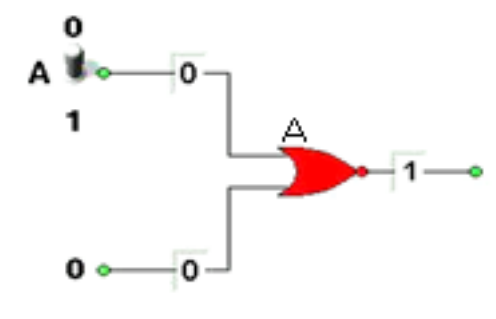
B'.1 Ανάλυση - περιγραφή αρχιτεκτονικής

Στην ενότητα αυτή παρουσιάζεται η ανάλυση του συστήματος και ο χωρισμός του σε υποσυστήματα όσον αφορά την αρχιτεκτονική.

B'.1.1 Διαχωρισμός υποσυστημάτων

Το σύστημα αποτελείται από τους απλούς κόμβους και ένα κόμβο διαχειριστή. Στο σημείο αυτό αναλύουμε το σύστημα ενός απλού κόμβου, το οποίο αποτελείται από τα εξής υποσυστήματα:

- Υποσύστημα δημιουργίας σχήματος.
- Υποσύστημα ενσωμάτωσης δεδομένων στο σχήμα.
- Υποσύστημα επικοινωνίας κόμβου.



Σχήμα B'.1: Προσομοίωση Πύλης NOR

Το Σχήμα B'.1 απεικονίζει

B'.1.2 Περιγραφή υποσυστημάτων

Παρακάτω δίνεται λεπτομερής περιγραφή για καθένα από τα συστήματα που αναφέραμε. Η περιγραφή αυτή γίνεται με βάση τα διαγράμματα ροής δεδομένων.

Υποσύστημα δημιουργίας σχήματος

Το υποσύστημα αυτό

Παράρτημα Γ'

Παραδείγματα Βιβλιογραφικών Αναφορών

Τύπος βιβλιογραφικής πηγής	Αριθμός αναφοράς
Βιβλίο ξενόγλωσσο	[27]
Βιβλίο ελληνικό	[28]
Άρθρο σε επιστημονικό περιοδικό	[;]
Παρουσίαση σε επιστημονικό συνέδριο	[29]
Ιστοσελίδα	[;]
Διπλωματική εργασία	[30]
Πτυχιακή εργασία	[26]
Μεταπτυχιακή διπλωματική εργασία	[31]
Διδακτορική διατριβή	[32]
Δίπλωμα ευρεσιτεχνίας (πατέντα)	[33]
Τεχνική αναφορά	[;]

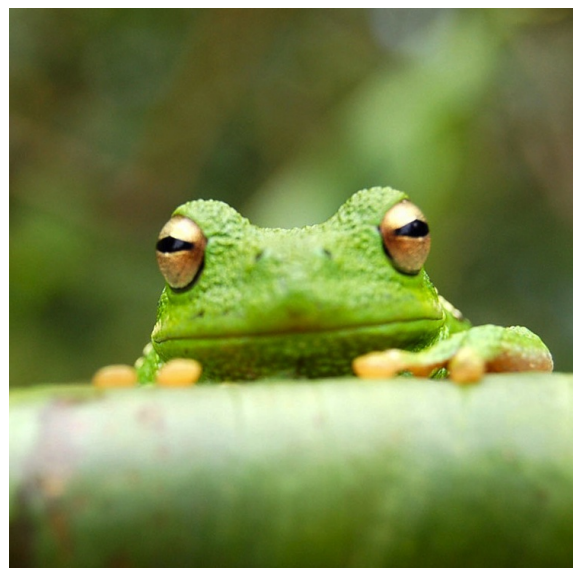
Παράρτημα **Δ'**

Δημιουργία Ευρετηρίου

Δείτε το περιεχόμενο του αρχείου appD.tex για τρόπους ορισμού ελληνικών και ξενόγλωσσων όρων ευρετηρίου.

Εισαγωγή Εικόνων

Δείτε το περιεχόμενο του αρχείου appE.tex για τον τρόπο εισαγωγής εικόνων.



Εικόνα E.1: Βάτραχος

Βιβλιογραφία

- [1] *A Rapid Increase in IoT Adoption - Manufacturing IoT in 2023.* <https://ubisense.com/a-rapid-increase-in-iot-adoption-manufacturing-iot-in-2023/>.
- [2] *Internet of Things (IoT) Statistics and Facts for 2024.* <https://www.demandsage.com/internet-of-things-statistics/>.
- [3] Frederic Chaxel Kais Mekki, Eddy Bajic και Fernand Meyer. *A comparative study of LPWAN technologies for large-scale IoT deployment.* *ICT Express*, 5(1):11–7, 2019.
- [4] Anna Ukovich. *NB-IoT Explained: What Is It, and How Does It Work?* <https://www.telit.com/blog/nb-iot-new-cellular-standard-means-business/>, 2019.
- [5] Zipit Wireless. *LTE Cat-M1 Explained: Pros and Cons of LTE-M for IoT Devices.* <https://www.zipitwireless.com/blog/lte-cat-m1-explained-pros-and-cons-of-lte-m-for-iot-devices>, 2023.
- [6] Gurudutt Hosangadi, Dandan Wang και Anil Rao. *System Design Considerations For Internet Of Things (IoT) With Category-M Devices In LTE Networks.* *arXiv preprint arXiv:1902.00408*, 2019.
- [7] Semtech Corporation. *LoRa® and LoRaWAN®: A Technical Overview.* <https://www.semtech.com/uploads/technology/LoRa/lora-and-lorawan.pdf>, 2021.
- [8] Saft Batteries. *The impact of communication technology protocol on your IoT application's power consumption.* <https://saft.com/en/energizing-iot/impact-communication-technology-protocol-your-iot-application%E2%80%99s-power-consumption>, 2023.
- [9] Ferran Adelantado, Xavier Vilajosana, Pere Tuset-Peiro, Borja Martinez, Joan Melià-Seguí και Thomas Watteyne. *Understanding the Limits of LoRaWAN.* *IEEE Communications Magazine*, 55(9):34–40, 2017.
- [10] GSMA. *Mobile IoT Deployment Guide.* <https://www.gsma.com/smartmobility/wp-content/uploads/2022/10/Mobile-IOT-Deployment-Guide-October-2022-1-1.pdf>, 2022.
- [11] LoRa Alliance. *LoRa Alliance Issues 2023 Annual Report Highlighting LoRaWAN Maturity, Robust Adoption, and Diversity of End-to-End Solutions.* <https://lora-alliance.org/lora-alliance-press-release/lora-alliance-issues-2023-annual-report-highlighting-lorawan-maturity-robust-adoption-and-diversity-of-end-to-end-solutions/>, 2023.

- [12] Semtech Corporation. *A Brief History of LoRa®: Three Inventors Share Their Personal Story at The Things Conference*. <https://blog.semtech.com/a-brief-history-of-lora-three-inventors-share-their-personal-story-at-the-things-conference>, 2020.
- [13] The Things Network. *Spreading Factors*. <https://www.thethingsnetwork.org/docs/lorawan/>.
- [14] Semtech Corporation. *AN1200.22 LoRa Modulation Basics*. Τεχνική Αναφορά με αριθμό, Semtech Corporation, 2015.
- [15] T. Rademacher και others. *Analysis of Urban Path Loss Models for LoRaWAN Network Planning*. *International Journal of Advanced Scientific Research and Engineering (IJASRE)*, 4(7):12–21, 2018.
- [16] LoRa Documentation. *LoRa - The Things Network Documentation*. <https://lora.readthedocs.io/en/latest/>, 2024.
- [17] Kamil Staniec και Michał Kowal. *LoRa Performance under Variable Interference and Heavy-Multipath Conditions*. *Wireless Communications and Mobile Computing*, σελίδες 1–10, 2018.
- [18] Lansitec. *What are the factors affecting LoRaWAN range in IoT*. <https://www.lansitec.com/blogs/what-are-the-factors-affecting-lorawan-range-in-iot/>, 2024.
- [19] Rohde and Schwarz. *Characterization of LoRa Devices*. Τεχνική Αναφορά με αριθμό, Rohde and Schwarz, 2018.
- [20] Arghya Baral. *Understanding of LoRa*. <https://medium.com/@arghyabaral/understanding-of-lora-066d89ed7bf4>, 2020. Μεδιουμ βλογ ποστ.
- [21] Sakshama Ghoslya. *LoRa: Symbol Generation*. <https://www.sghoslyा.com/p/lora-is-chirp-spread-spectrum.html>, 2017.
- [22] Maciej Janc. *Communication over LoRa M2M case using RA-01*. <https://sii.pl/blog/en/communication-over-lora-m2m-case-using-ra-01/>, 2021.
- [23] LoRa Alliance. *LoRaWAN Regional Parameters v1.0.3revA*. https://lora-alliance.org/wp-content/uploads/2020/11/lorawanRegionalParameters_v1.0.3revA_0.pdf, 2020.
- [24] Kristoffer Olsson και Sveinn Finnsson. *Exploring LoRa and LoRaWAN: A Suitable Protocol for IoT Weather Stations?* Μεταπτυχιακή διπλωματική εργασία, Chalmers University of Technology, Gothenburg, Sweden, 2017.
- [25] The Things Industries. *The Things Industries - Empowering Global IoT Connectivity*. <https://www.thethingsindustries.com/>, 2025.
- [26] Ε. Ανδρουλάκη. *Υλοποίηση Ενεργού Μηχανισμού σε Σύστημα Ομότιμων Βάσεων*. Πτυχιακή εργασία, KDBS Lab, Εθνικό Μετσόβιο Πολυτεχνείο, 2005.

- [27] M. Goossens, F. Mittelbach και A. Samarin. *The LaTeX Companion*. Addison-Wesley, Reading, Massachusetts, 9η έκδοση, 1993.
- [28] I. Κάθουρας. *Συστήματα Υπολογιστών*. Κλειδάριθμος, Αθήνα, 3η έκδοση, 1991.
- [29] I. Liaperdos, L. Dermentzoglou, A. Arapoyanni και Y. Tsiatouhas. *Fault Detection in RF Mixers Combining Defect-Oriented and Alternate Test Strategies*. 26th Conference on Design of Circuits and Integrated Systems (DCIS), San Sebastian, Spain, 2011.
- [30] Z. Καούδη. *Πρότυπο Σύστημα Αποδήκευσης και Διαχείρισης Σχημάτων RDFS*. Διπλωματική εργασία, Εθνικό Μετσόβιο Πολυτεχνείο, 2004.
- [31] Z. Λάσκαρη. *Κοινωνική Ανάλυση των Ταινιών της Finos Films*. Μεταπτυχιακή διπλωματική εργασία, Εθνικό Μετσόβιο Πολυτεχνείο, 2012.
- [32] Z. Κουρούκλη. *Κατανεμημένα Συστήματα*. Διδακτορική Διατριβή, ΤΕΙ Πελοποννήσου, 2013.
- [33] P. Viswanathan, G. Winner και P. Vyas. *Convenient Provisioning of Embedded Devices with WiFi Capability*. Δίπλωμα Ευρεσιτεχνίας US Patent 8,665,744, 2014.

Συντομογραφίες - Αρκτικόλεξα - Ακρωνύμια

βλπ	βλέπε
κ.λπ.	και λοιπά
κ.ο.κ	και ούτω καθεξής
ΤΕΙ	Τεχνολογικό Εκπαιδευτικό Ίδρυμα
BPF	Band Pass Filter

Απόδοση ξενόγλωσσων όρων

Απόδοση

αδερφός
αμεταβλητότητα
ανάκτηση πληροφορίας
αντιμεταθετικότητα
απόγονος
απορρόφηση
βάση δεδομένων
γνώρισμα
διαπροσωπεία
διαφορά
δικτυακός κατάλογος
δικτυωτή δομή
δομικές επερωτήσεις
δομικές σχέσεις
δομικό σχήμα
εγκυρότητα
ένωση

Ξενόγλωσσος όρος

sibling
idempotency
information retrieval
commutativity
descendant
absorption
database
attribute
interface
difference
portal catalog
lattice
structural queries
structural relationships
schema
validity
union

